

บทที่ 2

สารสารบritzค์

ถ่านหินเป็นเชื้อเพลิงจากไฟฟิก (fossil fuel) ชนิดหนึ่งซึ่งเกิดจากการเปลี่ยนแปลงที่ใช้เวลาบนล้านปีของการสะสมตัวของชากพิช ภายใต้สภาพแวดล้อมที่เหมาะสมของกระบวนการทางธรณีวิทยา โดยได้รับอิทธิพลจากความดันและความร้อนของผิวโลก แล้วกล่าว เป็นพีท (peat) ซึ่งจะเกิดการเปลี่ยนแปลงภายในทั้งทางเคมีและกายภาพ และคือยาเปลี่ยนเป็นถ่านหินชนิดต่างๆ โดยมีคาร์บอน(C) เป็นธาตุองค์ประกอบหลัก และมีแร่ธาตุต่างๆ เช่น ออกไซด์ด้วย เช่น ซิลิกอน(Si), ไนโตรเจน(N) และกำมะถันรวม(S) ถ่านหินมีความแตกต่างกันในทางกายภาพและทางเคมี ขึ้นอยู่กับชนิดของสารต้นกำเนิด อัตราการเปลี่ยนแปลง และปริมาณเด่า

การแบ่งลำดับคั้กต์ (rank) ของถ่านหิน

การจำแนกชนิดของถ่านหินตามคั้กต์ (rank) โดยวิธีมาตรฐานของอเมริกา (America Society for Testing Materials , ASTM) ดังตารางที่ 2.1 ซึ่งพิจารณาค่าความร้อนคงที่ ค่าความร้อน และลักษณะ agglomeration สามารถแบ่งถ่านหินออกได้เป็น 4 ชั้น (เกรดชัย สุกัญจน์ที่, 2529) ดังนี้

ก. แอนแทรไซต์ (Anthracite) เป็นถ่านหินคุณภาพดีที่สุด มีลักษณะเป็นเงามัน ความขาวสูง แข็งมาก ปริมาณคาร์บอนคงที่สูงกว่าร้อยละ 86 ขึ้นไป ปริมาณความชื้นต่ำมาก และมีค่าความร้อนสูงแต่จุดติดไฟยาก

ข. บิตูมินัส (Bituminous) เป็นถ่านหินเนื้อแน่น แข็ง มีลักษณะมันวาว ปริมาณคาร์บอนคงที่ร้อยละ 69-86 ให้ค่าความร้อนสูง ใช้ในอุตสาหกรรมกลุ่มโลหะ

ค. ชั้บบิทูมินัส (Subbituminous) เป็นถ่านหินที่มีสีดำคล้ำขึ้นผึ้ง ให้ค่าความร้อนสูงกว่าลิกไนท์

ง. ลิกไนท์ (Lignite) เป็นถ่านหินคุณภาพต่ำสุด วิวัฒนาการมาจากการเผา มีชาภีชปรากម្មอยู่เล็กน้อย มีปริมาณความชื้นและออกซิเจนค่อนข้างสูง ให้ค่าความร้อนต่ำ นอกจากนี้ยังมีการแบ่งถ่านหินตามระบบมาตรฐานระหว่างประเทศ (International System) ผิวน้ำจากค่าสารระเหย (Volatile matter) และค่าความร้อน (Heating value)

2.1 องค์ประกอบและโครงสร้างของถ่านหิน

ถ่านหินโดยทั่วไปจะมีองค์ประกอบหลัก คือ คาร์บอน ไฮโดรเจน ออกซิเจน และมีชาตุต่างๆเป็นส่วนหนึ่ง เช่น กำมะถัน ในโทรศัพท์ เหล็ก แคลเซียม อลูมิเนียม ซิลิกอน แมงกานีส โปแทสเซียม โซเดียม และติตาเนียม นอกจากนี้ยังมีชาตุอื่นปนอยู่บ้างซึ่งอยู่กับสภาพแวดล้อม และกระบวนการเกิดถ่านหิน (Coalification) คาร์บอนเป็นชาตุที่เป็นแกนหลักและมีมากที่สุดในโครงสร้างถ่านหิน ซึ่งเป็นส่วนสำคัญในการให้พลังงานเกิดจากอินทรีย์สาร โดยมีชาตุไฮโดรเจน ออกซิเจน ในโทรศัพท์ และกำมะถันประกอบร่วม รวมเรียกส่วนนี้ว่า maceral matter (organic coal matrix) ส่วนชาตุอื่นๆที่รวมกันเป็นสารประกอบอินทรีย์แทรกในเนื้อถ่านหินหรือรวมเป็นก้อนอย่างเห็นได้ชัด เรียกว่า mineral matter (crystalline inorganic compounds) (Meyers, 1981) เมื่อเกิดการเผาไหม้ถ่านหิน maceral จะให้ความร้อนและก๊าซจากการเผาไหม้ (flue gas) ส่วนของ mineral จะกลวยเป็นเถ้า (ash) ซึ่งคือส่วนที่เหลือจากการเผาไหม้ ที่อุณหภูมิสูงๆสารประกอบของแร่ธาตุบางตัวจะละลายตัวเป็นก๊าซ เช่น กำมะถันสามารถตัวเป็นก๊าซให้ก๊าซชัลฟ์เօร์ไดออกไซด์ คาร์บอนสลายตัวให้ก๊าซคาร์บอนไดออกไซด์ ไฟฟ์ท์ถูกออกซิไดซ์และเหล็กเปลี่ยนไปอยู่ในรูปของสารประกอบออกไซด์ของเหล็ก ซึ่งเป็นส่วนประกอบในเถ้า

โครงสร้างทางเคมีหรือสูตรโมเลกุลของถ่านหินยังไม่ทราบแน่ชัด แต่นักวิทยาศาสตร์คาดว่าถ่านหินประกอบด้วยโมเลกุลของวงแหวนอะโรมาติก (aromatic) และไฮโดรอะโรมาติก (hydroaromatic) เชื่อมกันด้วยโมเลกุลอะลิฟติก (aliphatic) ภายในโมเลกุลยังประกอบด้วยอะtomของชาตุออกซิเจน ในโทรศัพท์ กำมะถัน และกรุบปิ้งก์ชัน (functional group)

ตารางที่ 2.1 การแบ่งถ่านหินตามคุณภาพโดยวิธี ASTM D 388

Class	Group	Classification of Coals by Rank ^a						Agglomerating Character
		Fixed Carbon Limits, percent ^b (Dry, Mineral- Matter-Free Basis)	Volatile Matter Lim- its, percent (Dry, Mineral-Matter-Free Basis)	Calorific Value Limits, Btu per pound (Molal, Mineral-Matter-Free Basis)		Equal or Greater Than	Less Than	
I. Anthracite	1. Meta-anthracite	98	2	nonagglomerating
	2. Anthracite	92	98	2	8	
	3. Semianthracite ^c	86	92	8	14	
II. Bituminous	1. Low volatile bituminous coal	78	86	14	22	commonly agglomerating ^d
	2. Medium volatile bituminous coal	69	78	22	31	
	3. High volatile A bituminous coal	...	69	31	...	14 000 ^e	...	
	4. High volatile B bituminous coal	13 000 ^e	...	
	5. High volatile C bituminous coal	11 500	14 000	
III. Subbituminous	1. Subbituminous A coal	10 500	11 500	agglomerating
	2. Subbituminous B coal	9 500	10 500	
	3. Subbituminous C coal	8 500	9 500	
IV. Lignite	1. Lignite A	6 500	8 500	nonagglomerating
	2. Lignite B	6 500	

^aThis classification does not apply to certain coals, as discussed in Note 1.

^bMoist refers to coal containing its natural inherent moisture but not including visible water on the surface of the coal.

^cIf agglomerating, classify in low-volatile group of the bituminous class.

^dCoals having 69 % or more fixed carbon on the dry, mineral-matter-free basis shall be classified according to fixed carbon, regardless of calorific value.

^eIt is recognized that there may be nonagglomerating varieties in these groups of the bituminous class, and that there are notable exceptions in high volatile C bituminous group.

ที่มา : ASTM Standards, 1985.

จุฬาลงกรณ์มหาวิทยาลัย

ตารางที่ 2.2 ผลการวิเคราะห์สุมบดีถ่านหินแหล่งต่างๆ ในประเทศไทย

รายการที่ทำการวิเคราะห์	Lignite	Subbituminous			Bituminous High Volatile			Semi-Anthra cite	Anthra cite
	A	C	B	A	C	B	A		
ความชื้น (moisture), %	36.14	13.87	10.49	8.05	8.71	5.99	2.71	5.08	1.81
เถ้า (ash), %	5.86	13.62	36.32	33.49	21.14	7.29	6.67	21.11	12.89
สารระเหย (volatile matter), %	27.39	39.07	26.82	28.36	33.28	32.58	33.08	8.24	8.04
คาร์บอนคงตัว (fixed carbon), %	30.61	33.44	26.37	30.10	36.87	54.15	57.54	65.57	77.26
ค่าความร้อน (heating value), cal/g	3,942	4,380	3,330	3,968	4,935	6,812	7,557	5,944	7,705
ความถ่วงจำเพาะ (specific gravity)	1.30	1.50	1.55	1.61	1.36	1.36	1.36	1.63	1.48
คาร์บอน (carbon), %	42.38	51.03	33.90	37.76	49.33	-	-	-	80.19
ไฮโดรเจน (hydrogen), %	6.75	4.02	3.17	3.14	4.18	-	-	-	2.87
ไนโตรเจน (nitrogen), %	1.38	0.23	0.65	0.71	0.99	-	-	-	-
กัมมังสัน (sulfur), %	1.71	0.53	4.95	7.37	5.15	0.80	1.08	0.46	0.80
ออกซิเจน (by difference), %	41.92	30.57	21.01	17.53	19.21	-	-	-	3.25

ที่มา : ข่าวสารการธุรกิจ, 2529.

ตารางที่ 2.3 ขั้นคุณภาพของถ่านหินในแหล่งต่างๆจากผลการวิเคราะห์

แหล่งกำเนิดถ่านหิน	Lignite	Subbituminous			Bituminous			Semi-Anthracite	Anthracite
	A	C	B	A	C	B	A		
1. จ.เชียงใหม่									
1.1 ต.น้อหลวง อ.อ้อด	x		x	x					
1.2 ต.น้อสี อ.อ้อด	x		x	x					
2. อ.สี จ.ลำปูน	x		x	x					
3. จ.ลำปาง									
3.1 อ.แจ้ห่ม	x		x						
3.2 ต.กล้ายแฟช อ.เมือง	x		x						
3.3 อ.แม่ทะ	x		x	x					
3.4 อ.แม่เนาะ	x		x						
3.5 ต.แม่ตีบ อ.งาว			x	x					
4. อุตรดิตถ์									
4.1 อ.เข้าป่าค							x		
4.2 อ.ฝากทำ					x		x		
5. อ.นาคำง จ.เลย								x	x
6. อ.นาลง จ.อุตรธานี									x
7. จ.ตาก									
7.1 อ.ท่าสองยาง		x		x					
7.2 อ.อื้มผาง		x	x						
7.2 อ.แม่ระมาด								x	
8. อ.หนองพญาปล่อง จ.เพชรบูรี						x	x	x	
9. จ.สุราษฎร์ธานี									
9.1 ต.กรุด อ.มนต์นัน		x	x						
9.2 ต.พ่วงหมู่คร อ.เคียนชา	x	x	x	x	x				
10. อ.ทุ่งสง จ.นครศรีธรรมราช						x			
11. ต.สินปุ่น อ.เขานamen จ.กรุงธนบุรี	x	x							
12. อ.สะเดา จ.ส旌ชลาก	x	x							

ที่มา : ข่าวสารการธารณี, 2529.

ต่างๆรวมอยู่ด้วย (Blaustein, 1981) ดังรูป 2.1 แสดงโมเลกุลสมมติของถ่านหิน

โครงสร้างโมเลกุลของถ่านหินแบ่งออกได้เป็น 2 ส่วน ตามสมบัติทางเคมี คือ ส่วนโครงสร้างอินทรีย์(organic structure) และส่วนที่เป็นสารประกอบแร่ธาตุ

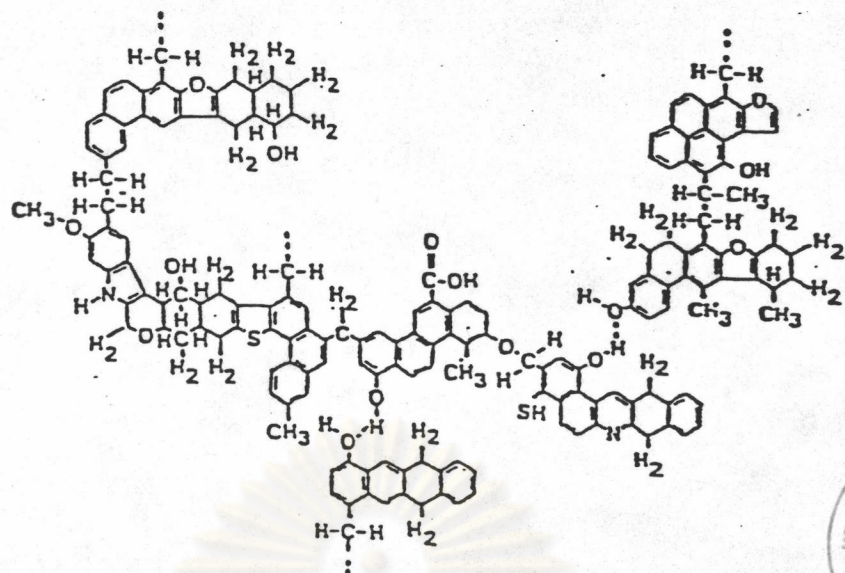
2.1.1 โครงสร้างอินทรีย์

โครงสร้างอินทรีย์ของถ่านหินประกอบด้วยคาร์บอนประมาณ 70-79 ส่วนไออกไซเจน 3-5 ส่วน ออกซิเจน 1-2 ส่วน กำมะถันและไนโตรเจน 1-2 ส่วนโดยน้ำหนัก เมื่อไม่คิดความชื้น และเมื่อเทียบอัตราส่วนโดยน้ำหนักของอะตอมของชาตุ (atomic ratio) พบว่า ไออกไซเจนเป็นส่วนประกอบที่สำคัญในโครงสร้างถ่านหิน ซึ่งเมื่อคัดตัวของถ่านหินสูงชี้บันทึกความชื้น แล้วเมื่อเทียบอัตราส่วนโดยน้ำหนักของอะตอมไออกไซเจนต่อคาร์บอน และไออกไซเจนต่อคาร์บอนจะลดลง

การศึกษาสารประกอบอินทรีย์ในโครงสร้างถ่านหิน โดยใช้สเปกโทรสโคปี โคมาราโ拓กราฟิ หรือวิธีทางเคมีอื่นๆ ยังไม่สามารถสรุปได้ว่า โครงสร้างที่แน่นอนของถ่านหิน เป็นอย่างไร แต่จากการวิจัยของนักวิทยาศาสตร์ต่างๆ พยายามทราบได้ว่า สารประกอบอินทรีย์ ในโมเลกุลของถ่านหินเป็นสารประกอบพาก เบนซิน ไฮโดรเจนโซล ไฮโดรเจนโซล เมกิลลิน พินอล พินิลออกซิเทอร์ โพลิเมกิลลิน พินันทรีนและสารประกอบไดไฮดรอมาติก เช่น คาร์บานาเซล เบนชาทิโอดิน และไฟริดิน นอกจากนี้ยังมีกรุ๊ปฟังก์ชัน (functional group) คือ ไฮดรอกซี คาร์บօกซี อะมิโน และไกօอล ดังแสดงในรูป 2.2 , 2.3 และ 2.4

2.1.2 สารประกอบแร่ธาตุ

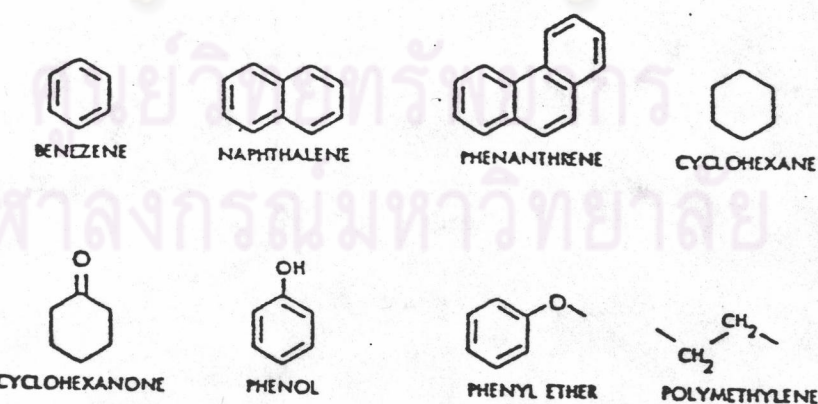
ชาตุที่เป็นองค์ประกอบหลักในส่วน mineral matter คือ ชิลิกอน นอกจากรูปที่แสดงในรูป 2.2 2.3 และ 2.4 ชาตุที่เป็นองค์ประกอบหลักในส่วน mineral matter คือ ชิลิกอน นอกนี้ยังมีอ่อนมิเนียม เนล็ก แคลเซียม แมกนีเซียม ติตเนียม โซเดียม และโปแทสเซียม ซึ่งรวมตัวกันอยู่ในรูปของสารประกอบออกไซด์โดยสารประกอบแร่ธาตุจะจับแน่นกับส่วน maceral ซึ่งทำการจัดได้ยาก หรืออาจจับกันอย่างหลวມพอจะแยกออกได้ด้วยวิธีทางกายภาพ แร่ที่พบมากเป็นพาก aluminosilicate (clay) คือ illite kaolinite ดังตารางที่ 2.4



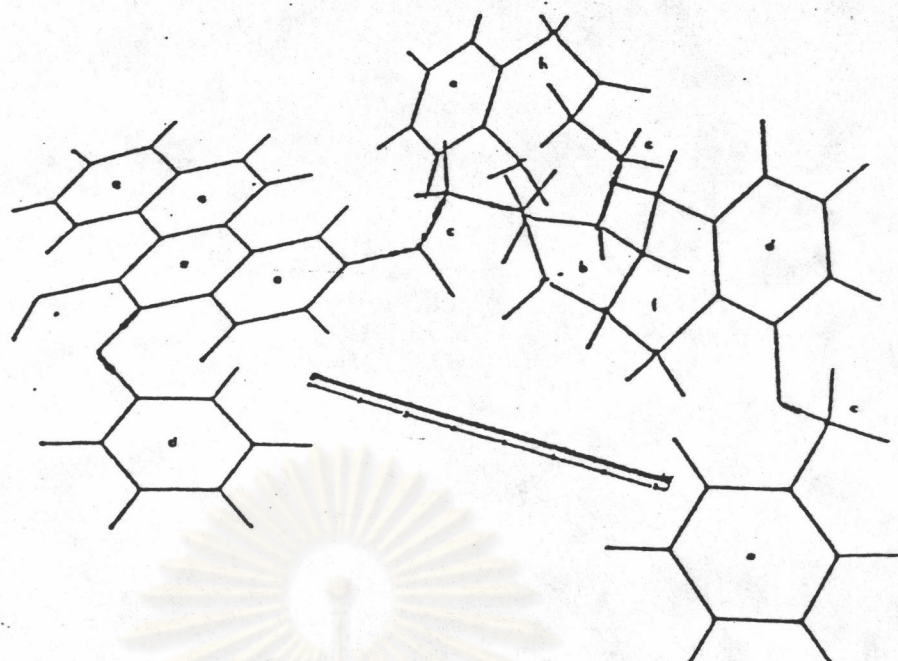
$\begin{array}{c} \text{O} \\ || \\ -\text{C}-\text{OH}, -\text{OH}, -\text{O}-\text{CH}_3, -\text{C}-\text{H} \end{array}$ គឺជា functional groups

$\begin{array}{c} \text{O} \\ || \\ -\text{CH}_2-, -\text{CH}_2-\text{CH}_2-, -\text{CH}_2-\underset{\text{CH}_3}{\text{CH}}- \end{array}$ គឺជា aliphatic bridges

រូបភ័ព 2.1 វិមានក្រឡូសមមធិនកំណែអិន (Blaustein, 1981)



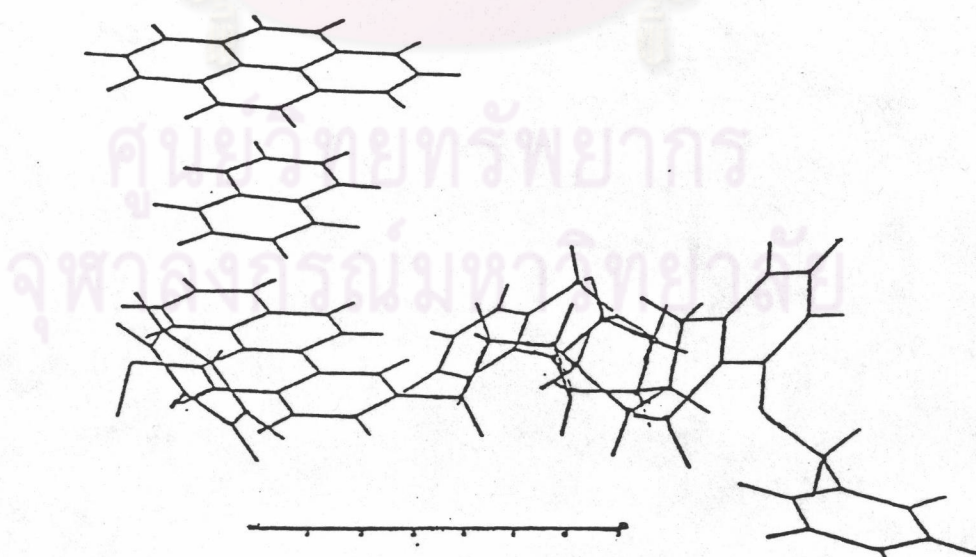
រូបភ័ព 2.2 តាមយ៉ាងតារប្រកបនិនីនកំណែអិន (Meyers, 1981)



รูปที่ 2.3 โครงสร้างทางอินทรีย์ของถ่านหิน : scale bar 7 Å° (5)

- | | |
|---------------------------------|------------------|
| a. condensed aromatic ring | e. benzene |
| b. cyclohexane | f. cyclohexane |
| c. methylene หรือ polymethylene | g. thiol |
| d. phenylether | h. cyclohexanone |

ที่มา : Meyers, 1981



รูปที่ 2.4 Coal Organic Crystalline Structure : scale bar 7 Å°

(Meyers, 1981)

ตารางที่ 2.4 แร่ธาตุส่วนใหญ่ที่พบในถ่านหิน

Mineral group	Mineral	Formula
Aluminosilicate (clay)	Illite	$(OH)_4K_2(Si_6 - Al_2)Al_4O_{20}$
	Kaolinite	$(OH)_8Si_4Al_4O_{10}$
Sulfide	Pyrite	FeS_2
Carbonates	Dolomite	$CaCO_3 \cdot MgCO_3$
	Ankerite	$2CaCO_3 \cdot MgCO_3 \cdot FeCO_3$
	Calcite	$CaCO_3$
Silica	Quartz	SiO_2

ที่มา : Meyers, 1981

2.2 การจำแนกชนิดและลักษณะของกำมะถันในถ่านหิน

กำมะถันเป็นธาตุในถ่านหินที่ทำให้เกิดการกัดกร่อนอุปกรณ์การเผาไหม้ และก่อให้เกิดมลภาวะเป็นพิษหลังการเผาไหม้ถ่านหิน ปริมาณกำมะถันรวมที่มีอยู่ในถ่านหิน พบตั้งแต่ 0.1-10 % โดยน้ำหนัก (Eliot, 1978) กำมะถันในถ่านหินมีรูปแบบต่างๆ แบ่งได้เป็น 2 ประเภทใหญ่ ๆ คือ

2.2.1 กำมะถันอนินทรีย์ (inorganic sulfur) แบ่งเป็น 2 รูปแบบคือ

ก. กำมะถันไฟฟ้าร็ตต์ (pyritic sulfur)

กำมะถันไฟฟ้าร็ตต์ในถ่านหิน พบในลักษณะของสารประกอบโลหะชัลไฟด์ คือ แร่ไฟฟ้าร็ตต์ (pyrite) และ แร่มาวร์คาไซด์ (marcasite) แร่ทั้งสองชนิดนี้มีสูตรเคมีเหมือนกันคือ FeS_2 แต่มีโครงสร้างผลึกและคุณภาพทางกายภาพแตกต่างกัน โดยแร่ไฟฟ้าร็ตต์มีโครงสร้างผลึกแบบ cubic มีความถ่วงจำเพาะเท่ากับ 5 ส่วนแร่มาวร์คาไซด์มีโครงสร้างผลึกแบบ rhombic ซึ่งมีความถ่วงจำเพาะเท่ากับ 4.87 เมื่อเทียบกับถ่านหินซึ่งมีความถ่วงจำเพาะอยู่ระหว่าง 1.3 - 1.8 และไม่ละลายน้ำ จากคุณสมบัติที่แตกต่างกันด้านความถ่วงจำเพาะนี้ สามารถแยกกำมะถันไฟฟ้าร็ตต์ออกจากถ่านหินโดยวิธีทางกายภาพ คือ specific gravity separation ได้ ส่วนกำมะถันที่มีขนาดเล็กมาก อาจจะแทรกอยู่ในเนื้อถ่านหิน การจัดเป็นไปได้ยากต้องใช้วิธีทางเคมี (Eliot, 1978 ; Meyers, 1981)

ขนาดของไฟฟ้าร็ตต์ที่พบในถ่านหินมีหลายรูปแบบ คือ (Meyers, 1981)

- Epigenetic : ขนาดใหญ่มากกว่า 50 ไมครอน
- Syngenetic : เป็นผลึกที่มีขนาดเล็กประมาณ 5-50 ไมครอน
- Finely intergrown ultrafine pyrite : เป็นผลึกขนาดเล็กมาก มีขนาดเล็กกว่า 5 ไมครอน

ช. กำมะถันชัลเฟต (sulfate sulfur)

กำมะถันชัลเฟตจะพบในลักษณะของ โลหะชัลเฟต เช่น แคลเซียมชัลเฟต (CaSO_4) สารประกอบชัลเฟตของเหล็ก (FeSO_4) สารประกอบชัลเฟตของทองแดง (CuSO_4) สารประกอบแมกนีเซียมชัลเฟต (MgSO_4) หรืออาจพบในลักษณะของแร่ขุบชัม (gypsum)

2.2.2 กำมะถันอินทรีย์ (organic sulfur) (Eliot, 1978; Meyers, 1981; Nishioka, 1986)

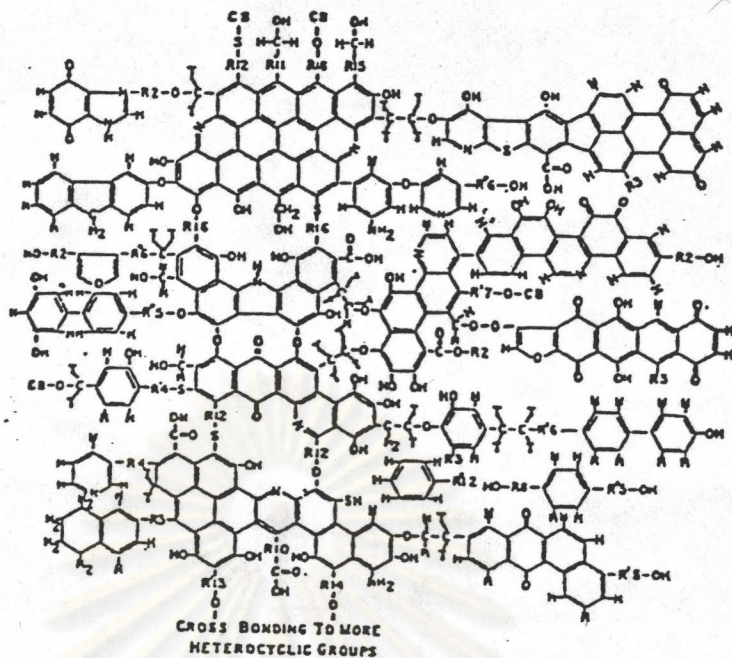
กำมะถันอินทรีย์มีประมาณร้อยละ 30 - 70 ของปริมาณกำมะถันรวมในถ่านหิน พบกระจายตัวทั่วไปในถ่านหินอยู่ในลักษณะโครงสร้างทางเคมีหลายรูปแบบที่ซับซ้อน ส่วนมากเป็นสารประกอบพาก heterocyclic ซึ่งมีพันธะเสถียรมาก มีสูตรโครงสร้างเป็น



Thioether ($\text{R-S-R}'$) mercaptan (R-S-H)

sulfide ($\text{R-S-R}'$) disulfide ($\text{R-S-S-R}'$) และ Thiophenol (C-S-H) เป็นต้น ตัวอย่างลักษณะโครงสร้างของกำมะถันอินทรีย์แสดงในรูป 2.5 และตัวอย่างลักษณะโครงสร้างของกำมะถันอินทรีย์ของสารประกอบพากไดชัลไฟฟ์ในถ่านหินแสดงในรูป 2.6

เนื่องจากกำมะถันอินทรีย์มีโครงสร้างที่เสถียรมาก จึงไม่สามารถจัดตัวยังริฐทางกายภาพได้ ต้องใช้วิธีทางเคมีทำลายพันธะเคมีระหว่างกำมะถันกับคาร์บอน และเนื่องจากกำมะถันอินทรีย์มีโครงสร้างซับซ้อน ดังนี้วิธีการวิเคราะห์ปริมาณจึงไม่สามารถทำได้โดยตรง นอกจากนี้ปฏิกิริยาที่เหมาะสมในการจัดกำมะถันไฟฟ์ให้มีได้กับกำมะถันอินทรีย์ เพราะกำมะถันอินทรีย์มีโครงสร้างที่เสถียรกว่าและไม่ไว (reactive) ต่อปฏิกิริยาเท่าไฟฟ์



$R''N$ = Alicyclic rings of N carbons.

RN = Alkyl side chain of N carbons.

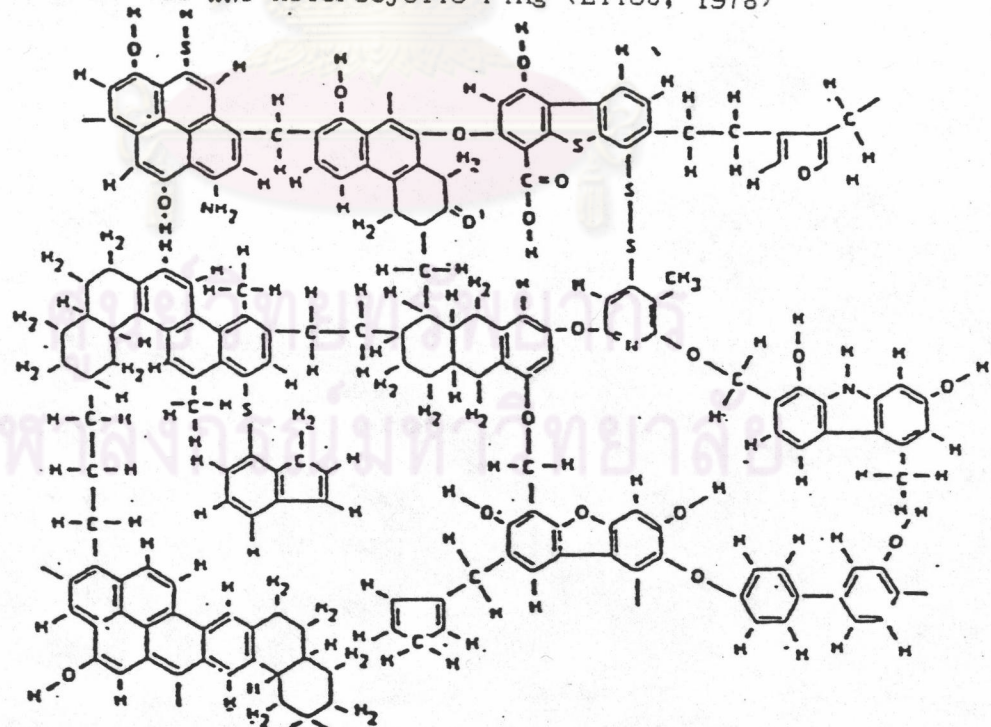
$R'N$ = Unsaturated alkyl side chain of N carbons.

Cb = Cross bonding by O or S to new heterocyclic groups with side chains.

T = Tetrahedral 3 dimensional C-C bonds, C-O bonds and C-S bonds.

รูปที่ 2.5 ลักษณะโครงสร้างของกำมะถันอินทรีย์ที่มีสารประกอบพาก mercapton,

sulfide และ heterocyclic ring (Eliot, 1978)



รูปที่ 2.6 ลักษณะโครงสร้างของกำมะถันอินทรีย์ของสารประกอบพากไดชัลไนต์ในโครงสร้างถ่านหิน (Eliot, 1978)

2.3 กระบวนการขัดกำมะถันในถ่านหิน

เนื่องจากปริมาณถ่านและกำมะถันในถ่านหินเป็นส่วนสำคัญที่ต้องคำนึงถึงในการนำถ่านหินมาใช้งาน ดังนั้นการลดปริมาณถ่านเพื่อเพิ่มค่าความร้อน และการขัดกำมะถันเพื่อลดปัญหาความลกรากและการกัดกร่อนอุปกรณ์เผาให้มีจังหวะนิ่งใจที่จะศึกษา วิธีการขัดกำมะถันในถ่านหิน แบ่งตามช่วงเวลาที่ทำการขัดได้ดังนี้ คือ

- วิธีการขัดกำมะถันก่อนการเผาไหม้ (Elliott, 1978)

เป็นการลดปริมาณกำมะถันในถ่านหินก่อนนำถ่านหินไปใช้เป็นเชื้อเพลิงในการเผาไหม้โดยอาจใช้วิธีทางกายภาพหรือวิธีทางเคมีได้ นอกจากนี้ยังมีกระบวนการทำถ่านหินให้เป็นเชื้อเพลิงก๊าซ (gasification) หรือเชื้อเพลิงเหลว (liquefaction)

- วิธีการขัดกำมะถันระหว่างการเผาไหม้

โดยการเติมสารเคมีบางชนิดลงไปในระหว่างเกิดการเผาไหม้ ชิ้นสารเคมีที่เติมลงไปจะรวมตัวกับกำมะถันที่สลายตัวจากการเผาไหม้ เกิดเป็นสารประกอบใหม่ที่สามารถแยกออกจากสารเผาไหม้ได้ เช่น การเติมปูนขาว (lime, CaO) หินปูน (limestone, CaCO_3) ลงไปในระหว่างการเผาไหม้ถ่านหินที่มีขนาด 1 นิ้ว หรือเล็กกว่าในฟลูอิไดซ์เบด (Fluidized bed) เมื่อเผาไหม้ ก๊าซชัลเฟอร์ไดออกไซด์จะถูกกำจัด โดยเปลี่ยนไปอยู่ในรูปสารประกอบแคลเซียมชัลเฟต (CaSO_4) ชิ้นสามารถขจัดออกได้ง่าย โดยใช้เครื่องตกตะกอนไฟฟ้าสถิตย์ (electrostatic precipitator) หรือ ถุงกรอง (filter bag)

- วิธีการขัดกำมะถันหลังการเผาไหม้

เป็นวิธีการใช้สารเคมี เพื่อจับก๊าซชัลเฟอร์ไดออกไซด์ที่ออกมากเป็นฟลูก๊าซ (flue gas) หลังการเผาไหม้ เช่น การใช้สารละลายน้ำเดียวไม่ต้องกรองได้ วิธีนี้เสียค่าใช้จ่ายสูงมากและไม่ได้รับประโยชน์เท่าไนก์ เพราะปริมาณก๊าซคงเท่าเดิม อีกวิธีหนึ่ง คือ การสร้างปล่องไฟสูง ๆ เป็นการลดความเข้มข้นของก๊าซที่เป็นมลภาวะได้

กระบวนการขัดกำมะถันและถ่านหินนำไปเผาไหม้เป็นกระบวนการปรับปรุงคุณภาพถ่านหินกระบวนการนี้ที่น่าสนใจคือ แบ่งออกเป็น 2 วิธีใหญ่ๆ คือ วิธีทางกายภาพ และวิธีทางเคมี

2.3.1 วิธีทางกายภาพในการขัดกำมะถัน

เป็นการปรับปรุงคุณภาพถ่านหินโดยอาศัยคุณสมบัติทางกายภาพขัดกำมะถันไฟไวร์และถ้าออกจากถ่านหิน คุณสมบัติทางกายภาพ เช่น ความถ่วงจำเพาะ (Specific Gravity) ถ่านหินมีความถ่วงจำเพาะระหว่าง 1.2 - 1.7 เมื่อเทียบกับกำมะถันไฟไวร์ที่มีความถ่วงจำเพาะอยู่ในช่วง 4.9 - 5.0 และ noncombustible ash มีความถ่วงจำเพาะอยู่ระหว่าง 2.0 - 2.6 (Khoury, 1981) จากความแตกต่างของความถ่วงจำเพาะระหว่างถ่านหินกับกำมะถันไฟไวร์และถ้าี้นั้น นำมาใช้ประโยชน์ในกระบวนการแยกกำมะถันไฟไวร์และถ้าออกจากถ่านหินได้ Surface Properties เป็นคุณสมบัติทางกายภาพอีกอย่างหนึ่งที่ใช้ในกระบวนการ Froth Flotation เพื่อแยกถ่านหินและถ้าออกจากกันโดยอาศัยคุณสมบัติความแตกต่างกันในด้านการเป็น hydrophilic ของถ่านหินและถ้ากระบวนการขัดกำมะถันโดยใช้วิธีทางกายภาพซึ่งอาศัยสมบัติทางกายภาพดังที่กล่าวมาแล้วนั้น แบ่งออกได้เป็น 2 กระบวนการ คือ (Khoury, 1981)

- Dry Mechanical Separation Process ตัวอย่างของกระบวนการนี้ คือ Magness process เป็นกระบวนการที่อาศัยเทคนิค dry, low-intensity magnetic โดยใช้ไอโอดอนเพนทาคาร์บอนิล (iron pentacarbonyl, $\text{Fe}(\text{CO})_5$) ที่ความดันบรรยายกาศ อุณหภูมิ 170°C ไอโอดอนคาร์บอนิลจะละลายตัว เกิดเป็นสารที่มีคุณสมบัติทางแม่เหล็กกับถ้าและกำมะถันไฟไวร์เท่านั้น ถ่านหินจะถูกแยกจากกำมะถันไฟไวร์และถ้าในเครื่อง magnetic separator

- Wet Mechanical Separation Process ตัวอย่างของกระบวนการนี้ ได้แก่ Froth Flotation ซึ่งใช้ในการแยกกำมะถันไฟไวร์และถ้าออกจากถ่านหินที่บดละเอียดโดยผ่าน air bubble ไปใน coal slurry อาศัยสมบัติการเป็น hydrophobic ของถ่านหิน และสมบัติการเป็น hydrophilic ของพากแร่ธาตุต่างๆ oil agglomerating หรือ spherical agglomeration process ก็เป็นอีกตัวอย่างหนึ่งของกระบวนการแบบนี้ ใช้ได้กับถ่านหินที่มีขนาดเล็กกว่า 200 เมช(mesh) อาศัยหลักการแขวนลอยของถ่านหินในสารละลาย โดยเติม agglomeration oil ซึ่งไม่ละลายน้ำลงไปในน้ำที่มีถ่านหินแขวนลอยอยู่ น้ำมันที่เติมลงไปจับตัวกับอนุภาคถ่านหินที่มีคุณสมบัติเป็น

hydrophobic รวมตัวเป็นกลุ่มลอยตัวอยู่บนน้ำ ในขณะที่ส่วนที่เป็นแร่ธาตุและไฟโรต์มีลักษณะเป็นพาก hydrophilic จะจมสู่ด้านล่าง จึงสามารถจัดกำมะถันไฟโรต์และถ้าออกจากถ่านหินได้

กระบวนการซัดกำมะถันโดยวิธีทางกายภาพทั้ง Dry และ Wet Mechanical Separation Process นี้ ไม่สามารถซัดกำมะถันอินทรีย์ได้ ซัดได้เฉพาะกำมะถันไฟโรต์และถ้าเท่านี้ เนื่องจากกำมะถันอินทรีย์แทรกตัวอยู่ในส่วน Coal matrix ในโครงสร้างของถ่านหิน ซึ่งอาจใช้วิธีทางเคมีในการซัดได้

2.3.2 วิธีทางเคมีในการซัดกำมะถัน

เป็นกระบวนการปรับปรุงคุณภาพถ่านหิน โดยอาศัยสารเคมีนำมาทำปฏิกิริยากับถ่านหินภายใต้สภาวะปฏิกิริยาที่เหมาะสม อาจทำร่วมกับวิธีทางกายภาพได้ วิธีทางเคมีนี้ สามารถซัดได้ทั้งกำมะถันไฟโรต์และกำมะถันอินทรีย์ ปฏิกิริยาเคมีที่สำคัญในการซัดกำมะถัน ได้แก่ ปฏิกิริยาไฮโดรเจนชัน(hydrogenation) ปฏิกิริยาเรดักชัน(reduction) ปฏิกิริยาออกซิเดชัน(oxidation) ปฏิกิริยากับสารละลายเบส เป็นต้น

2.3.2.1 ปฏิกิริยาเคมีที่ใช้ในการซัดกำมะถันอินทรีย์

กำมะถันอินทรีย์ในรูปต่างๆ สามารถที่จะทำปฏิกิริยาไฮโดรเจนชัน ตีคอมโพลิชัน ออกซิเดชัน หรือทำปฏิกิริยากับสารละลายโซเดียมไฮดรอกไซด์ - ปฏิกิริยาไฮโดรเจนชัน (Eliot, 1978) เป็นปฏิกิริยาที่กำมะถันอินทรีย์ที่อยู่ในรูปสารประกอบ Thiols, sulfides, disulfides และThiophene ในถ่านหินทำกับก๊าซไฮโดรเจน แล้วให้ผลออกมาเป็นสารประกอบไฮドราคาร์บอนอีมตัวกับก๊าซไฮโดรเจนชัลไฟด์ดังปฏิกิริยา

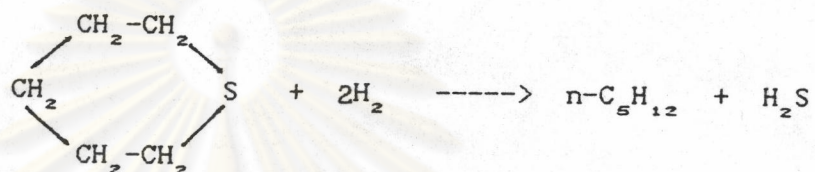
ethanethiol



3-thiapentane



thiacyclohexane



thiophene

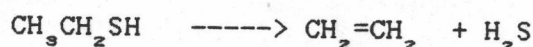


ซึ่งพบว่า ปฏิกิริยาไฮโดรเจน化ของกำมะถันอินทรีย์ขึ้นอยู่กับอุณหภูมิ

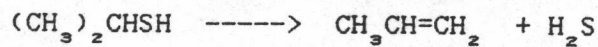
- ปฏิกิริยาดีคอมโพลิชัน (Eliot, 1978) เป็นปฏิกิริยาการ

สลายตัวของกำมะถันอินทรีย์พวก thiols, sulfides และ disulfides โดยอาศัย
ความร้อนที่อุณหภูมิสูงแล้วให้ผลิตภัณฑ์เป็นพาราประกอบไฮโดรคาร์บอนไม่อิ่มตัวกับก๊าซ
ไฮโดรเจนซึ่ลไฟต์ ตั้งปฏิกิริยา

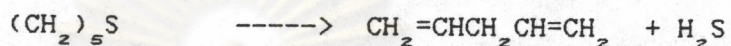
ethanethiol



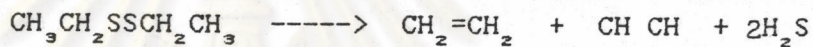
2-propanethiol



thiocyclohexane

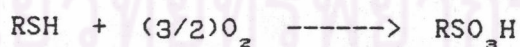


3,4-dithiahexane

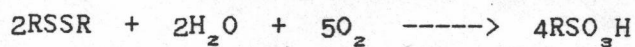


- ปฏิกิริยาออกซิเดชัน (Eliot, 1978) เป็นปฏิกิริยาที่ใช้ตัวออกซิไดซ์กำกับสารประกอบของกำมะถันอินทรีย์ แล้วให้ผลิตภัณฑ์ออกมาเป็นสารประกอบพากซัลฟonic acid ดังปฏิกิริยา

สารประกอบพาก mercaptan



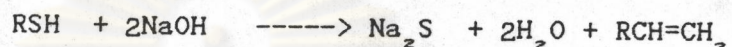
สารประกอบพากซัลไฟด์



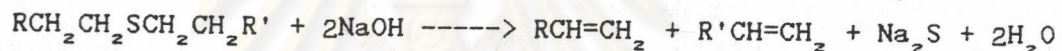
- ปฏิกิริยากับสารละลายน้ำเดียวไฮดรอกไซด์ (Eliot, 1978)

กำมะถันอินทรีย์ในถ่านหิน เช่น สารประกอบ mercaptan และสารประกอบชั้ลไฟฟ์ทำปฏิกิริยากับสารละลายน้ำเดียวไฮดรอกไซด์ ดังสมการ

สารประกอบ mercaptan



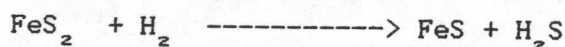
สารประกอบชัลไฟฟ์



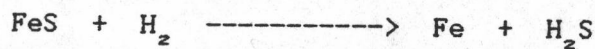
2.3.2.2 ปฏิกิริยาเคมีที่ใช้ในการขจัดกำมะถันไฟฟ้าต์

กำมะถันไฟฟ้าต์สามารถเกิดปฏิกิริยาเคมี เช่น ปฏิกิริยาไฮโดรเจนชั่น ออกซิเดชัน ปฏิกิริยากับสารละลายน้ำเดียวไฮดรอกไซด์ได้ เช่นเดียวกับกำมะถันอินทรีย์ แต่จะให้ผลิตภัณฑ์ที่แตกต่างกัน

- ปฏิกิริยาไฮโดรเจนชั่น (Eliot, 1978) เป็นปฏิกิริยาที่ใช้ก้าชไฮโดรเจนทำปฏิกิริยากับกำมะถันไฟฟ้าต์ในถ่านหิน แล้วให้ผลิตภัณฑ์เป็นพลาสติกประกอบเหล็กชัลไฟฟ์ กับก้าชไฮโดรเจนชัลไฟฟ์



ถ้าอุณหภูมิสูงกว่า 230° ซ ปฏิกิริยาสามารถดำเนินต่อไปได้



- ปฏิกิริยาออกซิเดชัน เป็นปฏิกิริยาที่ใช้สารเคมีที่มีสมบัติ

เป็นตัวออกซิไดซ์ เช่น สารประกอบพากสารละลายเฟอริกชัลเฟต ($\text{Fe}_2(\text{SO}_4)_3$) สารละลายเฟอริกคลอไรด์ (FeCl_3) ก๊าซออกซิเจน (O_2) สารละลายไนโตรเจนເປົອຮ່ວອກໄຊດໍ (H_2O_2) สารละลายคอปເປົອຮ່ວຄລອໄຣດໍ (CuCl_2) สารละลายคอปເປົອຮ່ວชัลເຟ (CuSO_4) เป็นต้น เข้าทำปฏิกิริยากับกำมะถันໄฟໄຣຕ์ในถ่านหิน

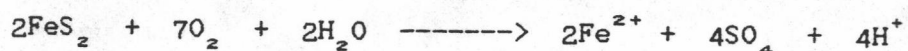
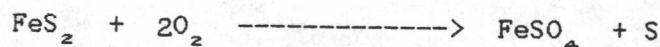
เมื่อใช้ก๊าซออกซิเจนเป็นตัวออกซิไดซ์ ปฏิกิริยาที่เกิดขึ้นคือ

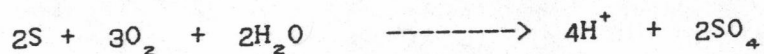
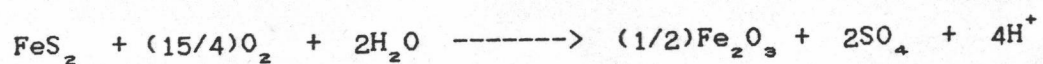


นอกจากนี้ ในการใช้ออกซิเจนเข้าทำปฏิกิริยากับกำมะถันໄฟໄຣຕ์ในถ่านหินจะเกิดปฏิกิริยาที่สำคัญอีกปฏิกิริยานึง คือ ปฏิกิริยาที่ออกซิเจนทำปฏิกิริยากับสารละลายของเกลือเฟอรัส (Fe^{2+}) และให้สารละลายเกลือเฟอริก (Fe^{3+}) ที่มีสมบัติเป็นตัวออกซิไดซ์ ดังนี้ ปฏิกิริยานี้จึงมีประโยชน์อย่างมากในการนำสารละลายกลับมาใช้ประโยชน์ได้อย่างต่อเนื่อง ปฏิกิริยานี้เรียกว่า ปฏิกิริยา regeneration

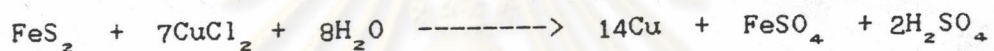
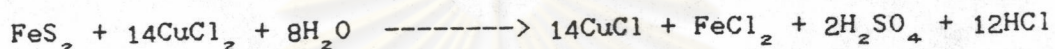


เมื่อใช้สารละลายไนโตรเจนເປົອຮ່ວອກໄຊດໍ เป็นตัวออกซิไดซ์ซึ่งจะแตกตัวให้ก๊าซออกซิเจนออกมำทำปฏิกิริยา ดังสมการ (Joshi et.al., 1981)

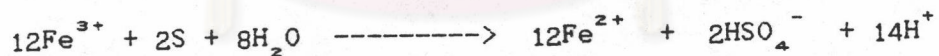
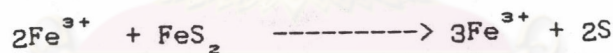




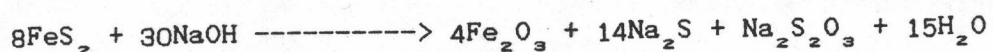
เมื่อใช้สารละลายนอกปเปอร์คลอไรด์ หรือปเปอร์ชัลเฟต
เป็นตัวออกซิไดซ์ ปฏิกิริยาที่เกิดขึ้น คือ (Ludmila, 1982)



เมื่อใช้สารละลายนีโตริกเป็นตัวออกซิไดซ์ ปฏิกิริยา
ที่เกิดขึ้น คือ (Onganer, 1989)



- ปฏิกิริยากับสารละลายนีโตริกไซเดียม ไฮดรอกไซด์ (Araya, 1981)
แล้วแยกกำมะถันออกมานิรูปของผลิตภัณฑ์เกลือโซเดียม ดังปฏิกิริยา



2.4 กระบวนการขัดกำมะถันโดยใช้ปฏิกิริยาออกซิเดชัน

กระบวนการที่ใช้ปฏิกิริยาออกซิเดชันทุกระบวนการ จะเป็นการปรับปรุงคุณภาพถ่านหินให้ดีขึ้น คือลดปริมาณกำมะถันในถ่านหินให้น้อยลงก่อนนำไปทำการเผาใหม่เป็นเชื้อเพลิง

- Meyers Process (Mendizabal, 1976) เป็นกระบวนการขัดกำมะถันโดยใช้ปฏิกิริยาออกซิเดชันกระบวนการนี้ Meyers ใช้ถ่านหินเบดلة เอียดผลมกับสารละลายเฟอริกซัลเฟตหรือเฟอริกคลอไรด์โดยให้ทำปฏิกิริยาแก้ในเครื่องปฏิกรณ์ชนิดกวน กำมะถันไฟไฮต์จะถูกออกซิไดร์โดยสารละลาย แล้วให้กำมะถันอิสระและสารละลายของอนุมูลซัลเฟตอิโอน ซึ่งสามารถแยกออกจากถ่านหินโดยวิธีการกรองแล้วนำสารละลายไปปรับสภาพ (regenerate) เพื่อนำกลับไปใช้งานใหม่ได้ ส่วนถ่านหินที่กรองได้นำไปล้างให้หมดคราบแล้วใช้ตัวทำละลายลักดเจากำมะถันอิสระที่เกาดติดอยู่ที่ถ่านหินออกก่อนที่จะนำไปใช้งาน ปกติปฏิกิริยาของกระบวนการนี้เกิดที่อุณหภูมิ 100°C ความดันปกติ กระบวนการนี้สามารถขัดกำมะถันไฟไฮต์ได้ 83-99% ของปริมาณไฟไฮต์ที่อยู่ในถ่านหินจากการศึกษา 32 ตัวอย่างถ่านหินเป็นผลให้ปริมาณกำมะถันทึบหมุดที่อยู่ในถ่านหินลดลง 25-80% กระบวนการนี้สามารถขัดไฟไฮต์ แต่ไม่สามารถขัดกำมะถันอินทรีย์ กระบวนการนี้จึงเหมาะสมสำหรับถ่านหินที่มีกำมะถันไฟไฮต์สูง รายละเอียดของกระบวนการแสดงในรูปที่ 2.7 จากกระบวนการนี้สามารถขัดกำมะถันไฟไฮต์ได้หมด โดยใช้เครื่องปฏิกรณ์ชนิดกวนหลายตัวในการทำปฏิกิริยา

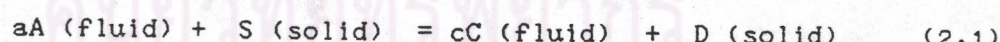
- Dillon Process (Dillon, 1974) กระบวนการนี้จะใช้ถ่านหินผลมกับน้ำ และอากาศที่ความดัน 43.70 กิโลกรัมต่อตารางเซนติเมตร อุณหภูมิ 175°C โดยจะทำปฏิกิริยาแก้ในเครื่องปฏิกรณ์ชนิดกวนเป็นเวลานาน 10 นาที ผลที่ได้พบว่า เมื่อถ่านหินเริ่มแรกมีปริมาณกำมะถันทึบหมุดร้อยละ 2.55 โดยแยกเป็นกำมะถันอินทรีย์ 0.94% หลังจากที่ผ่านกระบวนการนี้แล้วสามารถที่จะทำให้กำมะถันทึบหมุดลดลงเหลือเพียง 0.48% โดยที่ปริมาณกำมะถันไฟไฮต์ทึบหมุดและคริ่งหนึ่งของกำมะถันอินทรีย์ถูกจัดออกไปจากถ่านหิน

- Mukai Process (Mendizabal, 1976) กระบวนการนี้ใช้สารละลายเป็นตัวออกซิไดช์คือ สารละลาย 3% ไฮโดรเจนเปอร์ออกไซด์ (H_2O_2) ทำปฏิกิริยากับกำมะถันในถ่านหินชนิดบิทูมินัลในเครื่องปฏิกรณ์ชนิดการ จะพบว่า หลังจากถ่านหินผ่านกระบวนการนี้แล้วปริมาณกำมะถันในไนโตรเจนจะลดลงมากกว่า 90% ตามที่กำหนดไว้

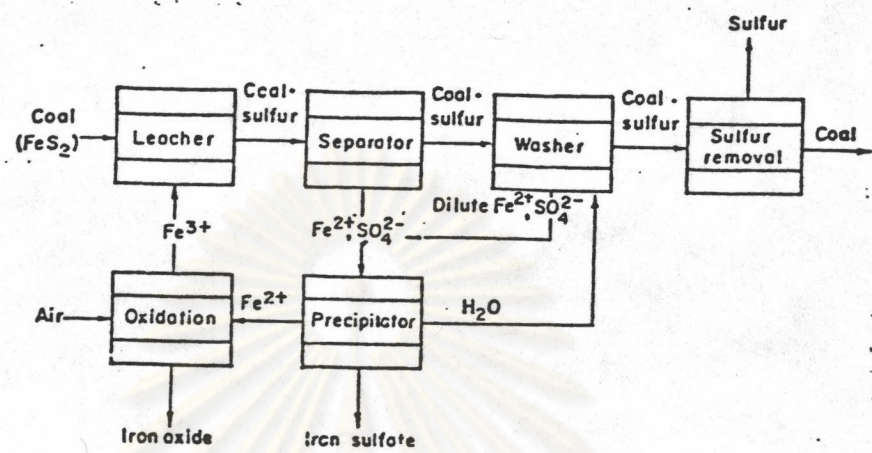
- Ledgement Process (Mendizabal, 1976) กระบวนการนี้ใช้ตัวออกซิไดช์คือ ออกซิเจนทำปฏิกิริยากับถ่านหินที่ผสมน้ำในเครื่องปฏิกรณ์ชนิดการที่ทนความดันได้พอประมาณ สภาวะที่ใช้ในการทำปฏิกิริยา คือ ใช้ความดันออกซิเจน 21 กิโลกรัมต่ำตารางเซนติเมตร $130^{\circ}C$ เวลา 2 ชม. หลังจากที่ทำปฏิกิริยาแล้วแยกถ่านหินออกจากน้ำล้าง โดยการกรองและนำน้ำล้างไปทำให้เป็นกลางด้วย CaO เพื่อจะได้น้ำน้ำกลับไปทำปฏิกิริยาใหม่หลังจากที่แยกเอาสารประกอบพวกเหล็กและยิบชัมออกไปแล้ว รายละเอียดของกระบวนการตั้งแสดงในรูปที่ 2.8 จากกระบวนการของ Ledgement นี้สามารถที่จะจัดกำมะถันไนโตรเจนออกจากถ่านหินได้หมด

2.5 ทฤษฎีกลไกการเกิดปฏิกิริยาการขัดกำมะถัน

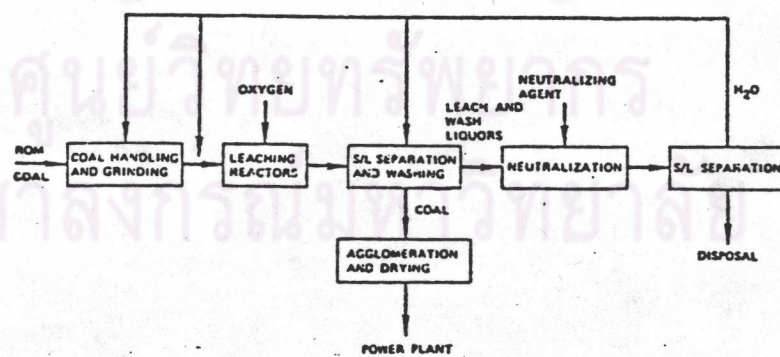
ปฏิกิริยาการขัดกำมะถันจากถ่านหินในสารละลายซึ่งเป็นปฏิกิริยาออกซิเดชันน์เป็นปฏิกิริยาสหพันธ์ (heterogeneous reaction) โดยเป็นแบบ liquid-solid non-catalytic reaction แสดงได้ดังสมการ



สมการอัตราเร็วรวมจะต้องพิจารณาการถ่ายเทมวลสาร (mass transfer) พร้อมทั้งจลนพลศาสตร์เคมี (Chemical kinetics) ด้วย



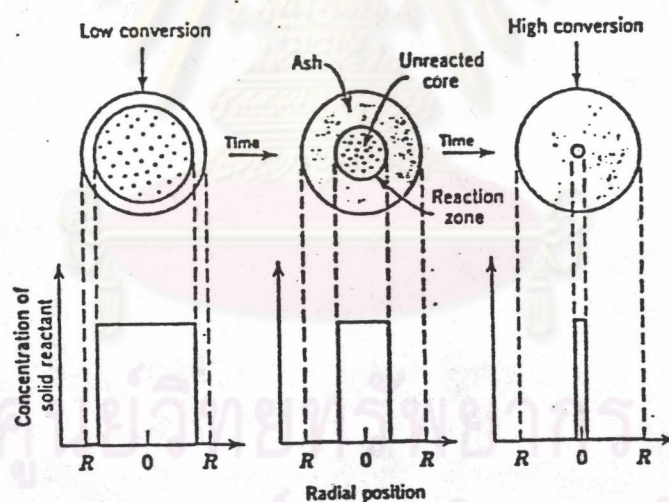
รูปที่ 2.7 Meyers Process (Mendizabal, 1976)



รูปที่ 2.8 Ledgement Process (Mendizabal, 1976)

2.5.1 ไม่เดลแกนกลางไม่เกิดปฏิกิริยาด้วยตัว (unreacted shrinking core model)

Yagi และ Kunii (Levenspiel, 1972) สมมติให้ออนุภาคน่านหินเป็นทรงกลม ตอนแรกปฏิกิริยาจะเกิดขึ้นที่ผิวนอกของอนุภาคก่อนเกิดขึ้นผลิตภัณฑ์ แล้วปฏิกิริยาจะเลื่อนเข้าไปในอนุภาcxของแท็งค์ ในระหว่างการเกิดปฏิกิริยา ขนาดของ unreacted core จะลดลง ดังรูปที่ 2.9



จุฬาลงกรณ์มหาวิทยาลัย

รูปที่ 2.9 ขนาดอนุภาcxของถ่านหินเมื่อเวลาผ่านไปในปฏิกิริยา (Levenspiel, 1972)

ขั้นตอนการเข้าทำปฏิกิริยาของสาร A แยกได้เป็น 5 ขั้นตอน

1. ก๊าซ A แพร่ผ่านชั้นฟิล์มที่ล้อมรอบอนุภาคของแข็งไปยังผิวของแข็ง
2. การแพร่ของสาร A กับของแข็ง
3. ปฏิกิริยาของก๊าซ A กับของแข็ง
4. การแพร่ของผลิตภัณฑ์ที่เป็นก๊าซผ่านชั้นถ้ำสูญผิวนอกของแข็ง
5. การแพร่ของผลิตภัณฑ์ที่เป็นก๊าซผ่านชั้นฟิล์มกลับไปยังส่วนที่เป็นของเหลวที่ล้อมรอบของแข็งนั้น

สมมุติให้ปฏิกิริยาที่เกิดขึ้น เป็นแบบไม่ผันกลับ (irreversible) ขั้นตอนที่ 4 และ 5 จะไม่เกิดขึ้น สมมุติฐานในการเข้าทำปฏิกิริยาคือ

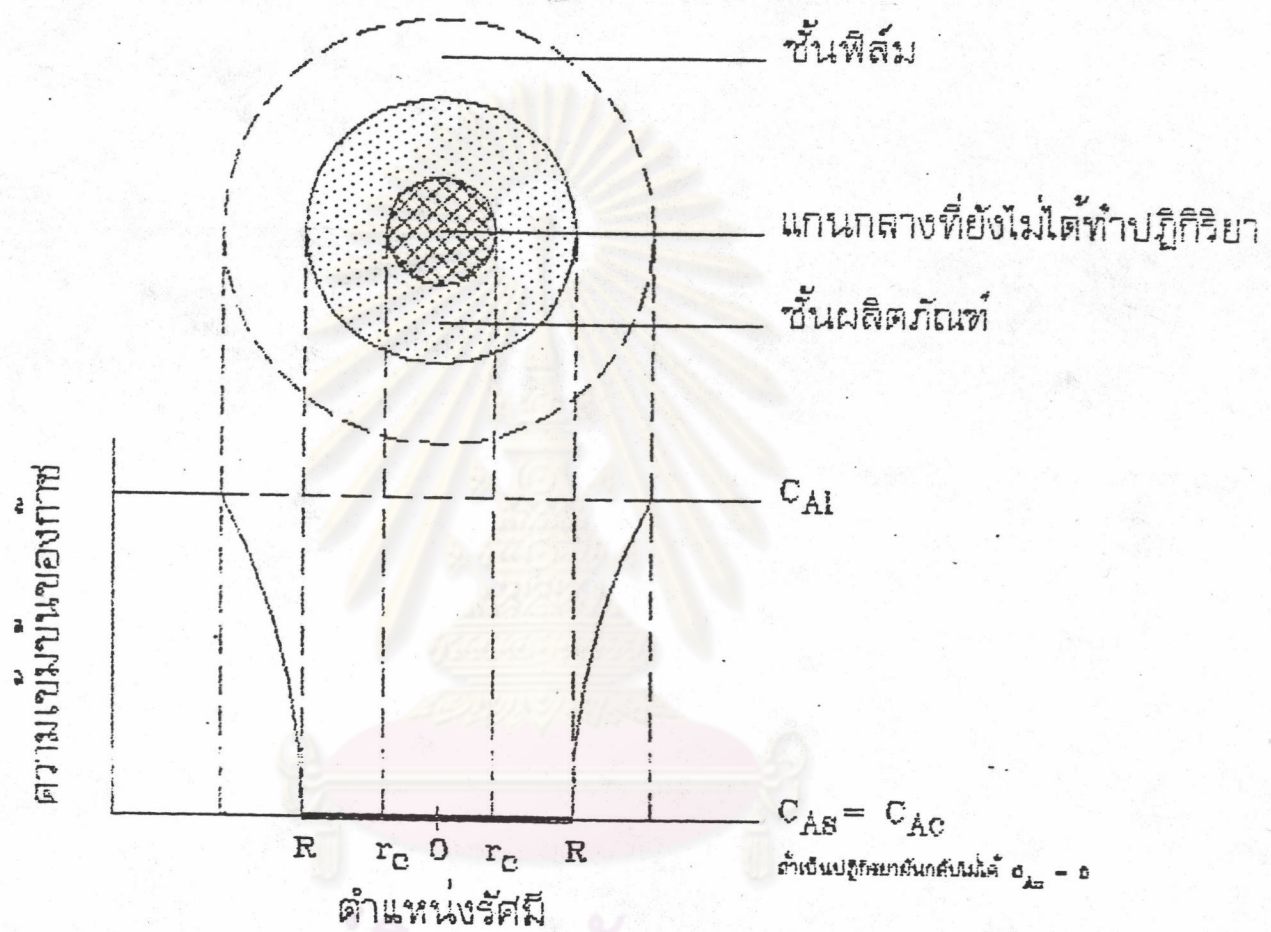
- ปริมาณถ่านหินต่อสารละลายคงที่ทุกจุดในเครื่องปฏิกรณ์
- สมบัติของอนุภาคถ่านหินเหมือนกันหมดทุกอนุภาค
- อนุภาคถ่านหินเป็นทรงกลมและมีขนาดเท่ากันทุกอนุภาค
- สัมประสิทธิ์การถ่ายเทมวลผ่านชั้นฟิล์มสูญผิวนอกถ่านหินมีค่าคงที่
- ขั้นตอนที่ร้าวที่สุด เป็นขั้นตอนควบคุมในปฏิกิริยาทั้งหมด
- อุณหภูมิทุกจุดในเครื่องปฏิกรณ์เท่ากันหมด

กลไกปฏิกิริยวควบคุมด้วยขั้นตอนใดขั้นตอนหนึ่ง ของขั้นตอนการเข้าทำปฏิกิริยาที่กล่าวมาข้างต้น จากขั้นตอนที่ 1 ถึงขั้นตอนที่ 3 ในที่นี้จะแสดงถึงโมเดลของแต่ละขั้นตอนคือ

ก. การควบคุมด้วยการแพร่ผ่านชั้นฟิล์ม (Diffusion Through Gas Film Controls) เมื่อพิจารณาให้ความต้านทานของฟิล์มเป็นขั้นตอนควบคุมอัตราเร็วของปฏิกิริยา

กำหนดให้ค่าผลต่างความเข้มข้น $C_{\infty} - C_{\infty}$ คงที่ตลอดเวลา ตามรูปที่ 2.10 จากสมการ (2.1) เขียนความสัมพันธ์ได้ว่า

$$dN_B = b dN_A \quad (2.2)$$



ศูนย์วทยทรัพยากร จุฬาลงกรณ์มหาวิทยาลัย

รูปที่ 2.10 โปรไฟล์ความเข้มข้นของ A เมื่อการแพร่ผ่านชั้นพิล์มควบคุมอัตราเร็วปฏิกิริยา (Levenspiel, 1972)

$$\begin{aligned}
 (-1/S_{\infty})(dN_B/dt) &= (-1/4\pi R^2)(dN_A/dt) \\
 &= (-b/4\pi R^2)(dN_A/dt) \\
 &= bk_s(C_{As} - C_{As}) \quad (2.3)
 \end{aligned}$$

เมื่อ $C_{As} = 0$

$$(-1/S_{\infty})(dN_B/dt) = bk_s C_{As} \quad (2.4)$$

ให้จำนวนโมลของสาร B เท่ากับ $N_B = \rho_B V$

$$= (\text{moles B/cm}^3 \text{ solid})(\text{cm}^3 \text{ solid}) \quad (2.5)$$

เมื่อสาร A และสาร B เกิดปฏิกิริยาไป ทำให้ปริมาตรและรัศมีแกน
กลางลดลง ดังนั้น สมการ (2.2) เขียนใหม่ได้ว่า

$$-dN_B = -bdN_A = -\rho_B dV = -\rho_B d(4/3\pi r_c^3) = -4\pi \rho_B r_c^2 dr_c \quad (2.6)$$

แทนค่าสมการ (2.6) ในสมการ (2.4) จะได้อัตราเร็วของปฏิกิริยา
ในเทอมของรัศมีแกนในทางลดลงคือ

$$(-1/S_{\infty})(dN_B/dt) = (-\rho_B r_c^2/R^2)(dr_c/dt) = bk_s C_{As} \quad (2.7)$$

จัดรูปสมการ (2.7) แล้วอินทิเกรต ได้สมการสำหรับแกนกลางที่มี
ขนาดเล็กลงตามเวลาคือ

$$\left(-\rho_b / R^2 \right) \int_R^{r_c} r_c^2 dr_c = b k_a C_{Aa} \int_0^t dt$$

$$t = (\rho_b R / 3 b k_a C_{Aa}) [1 - (r_c/R)^3] \quad (2.8)$$

จากสมการ (2.8) เมื่อ $r_c = 0$ จะได้เวลาที่เกิดปฏิกิริยาสมบูรณ์ คือ

$$\tau' = \rho_b R / (3 b k_a C_{Aa}) \quad (2.9)$$

สมการในรูปของรัศมีแกนกลางกับอัตราส่วนเวลาระหว่างเวลาใด ๆ กับเวลาที่เกิดปฏิกิริยาสมบูรณ์ หาได้โดยนำสมการ (2.8) หารด้วย สมการ (2.9) คือ

$$t/\tau' = 1 - (r_c/R)^3$$

ในเทอมของสัดส่วนการเปลี่ยน (fractional conversion)

ปริมาตรของแกนกลางที่ยังไม่เกิดปฏิกิริยา

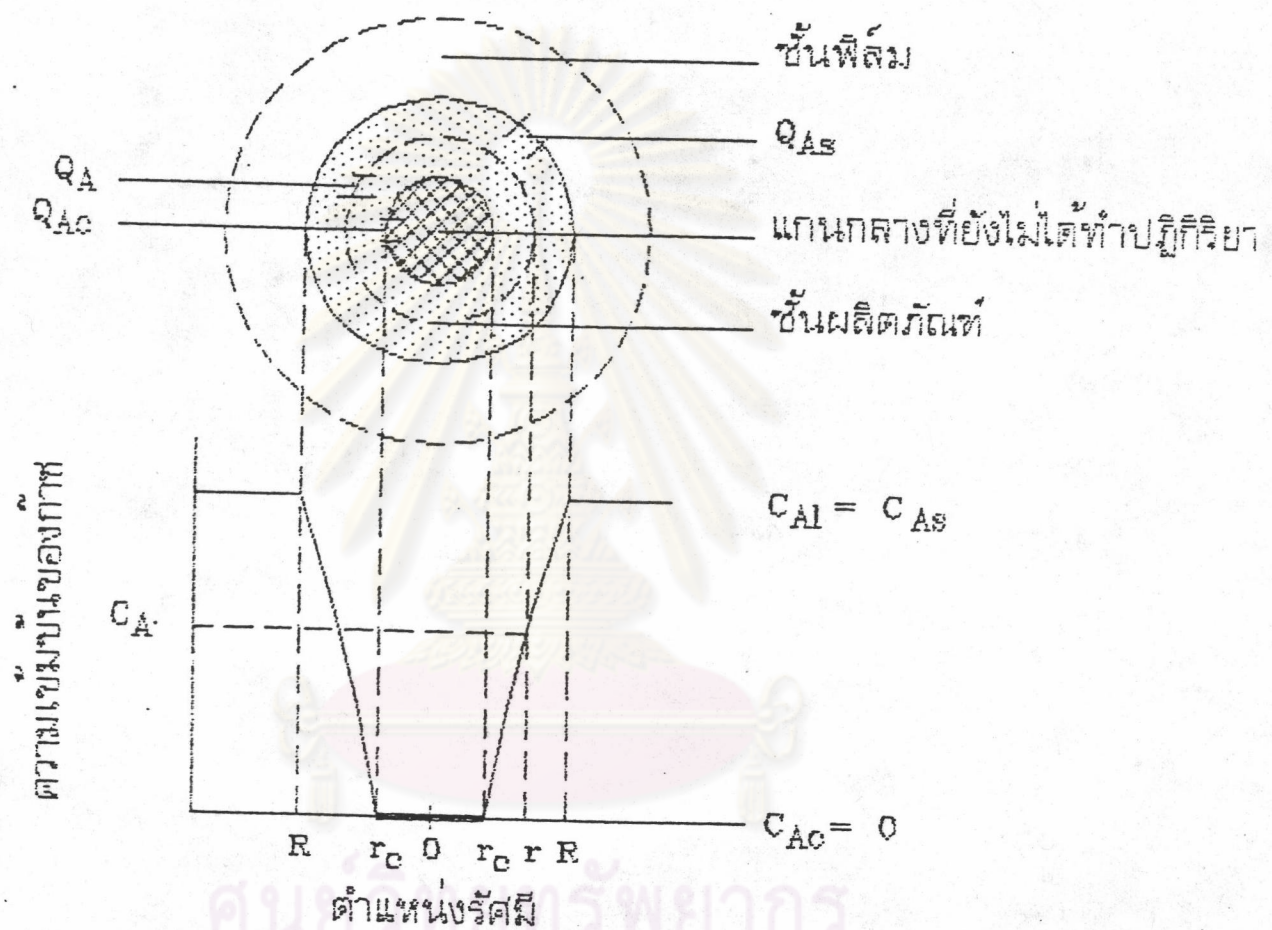
$$1-X_b = \frac{\text{ปริมาตรทั้งหมดของอนุภาค}}{\text{ปริมาตรของแกนกลาง}}$$

$$1-X_b = (4/3 \pi r_c^3) / (4/3 \pi R^3) = (r_c/R)^3 \quad (2.10)$$

ดังนี้ สมการในรูปของรัศมีแกนกลางกับอัตราส่วนระหว่างเวลาใดๆ กับเวลาที่เกิดปฏิกิริยาสมบูรณ์เขียนในเทอมของสัดส่วนการเปลี่ยนได้ดังนี้

$$t/\tau' = 1 - (r_c/R)^3 = X_b \quad (2.11)$$

๙. การควบคุมด้วยการแพร่ผ่านชั้นผลิตภัณฑ์ (Diffusion through Product Layer Control)



รูปที่ 2.11 โปรไฟล์ความเข้มข้นของ A เมื่อการแพร่ผ่านชั้นผลิตภัณฑ์
ควบคุมอัตราเร็วปฏิกิริยา

เนื่องจากอัตราการลดลงของรัศมีแกนกลางซึ่งกว่าอัตราของการแพร่ของสาร A เข้าสู่แกนกลางประมาณ 1000 เท่า ซึ่งเป็นอัตราส่วนอย่างคร่าวๆ ของความหนาแน่นระหว่างของแข็งกับก๊าซ เนื่องจากเหตุผลดังกล่าว ขนาดของแกนกลางที่เวลาใด จะมีค่าคงที่ตามรูปที่ 2.11 จากสมมุติฐานนี้ช่วยให้แก้สมการได้ง่ายขึ้น ซึ่งอัตราเร็วของสาร A ในการแพร่เข้าสู่บริเวณที่เกิดปฏิกิริยา คือ

$$(-dN_A/dt) = 4\pi r^2 Q_A = 4\pi R^2 Q_{As} = 4\pi r_c^2 Q_{Ac} = \text{ค่าคงที่} \quad (2.12)$$

ถ้าให้อัตราการถ่ายเทมวลต่อหน่วยพื้นที่ (flux) ของสาร A ในชั้นของผลิตภัณฑ์เป็นไปตามสมการของ Fick's law สำหรับการแพร่ที่ส่วนทางกันของจำนวนโมลที่เท่ากัน (equimolar counterdiffusion) และให้ค่า Q_A และ dC_A/dr มีค่าเป็นบวก จะได้

$$Q_A = De(dC_A/dr) \quad (2.13)$$

แทนค่า Q_A จากสมการ (2.13) ลงในสมการ (2.12) จะได้สมการในเทอมของรัศมี r ได้

$$(-dN_A/dt) = 4\pi r^2 De(dC_A/dr) = \text{คงที่} \quad (2.14)$$

อินทิเกรตผ่านชั้นผลิตภัณฑ์จาก R ถึง r_c จะได้

$$\begin{aligned} (-dN_A/dt) \int_R^{r_c} dr/r^2 &= 4\pi De \int_{C_{As}}^{C_{Ac}} dC_A \\ R & C_{As} = C_{Ac} \end{aligned}$$

$$(-dN_A/dt)(1/r_c - 1/R) = 4\pi De C_{As} \quad (2.15)$$

ในชั้นตอนที่สองของการวิเคราะห์ ถ้าให้ขนาดของแกนกลางเปลี่ยน

ไปตามเวลา และ $dN_A/dt =$ ค่าคงที่ ขณะที่ขนาดของแกนกลางลดลง เมื่อเวลาผ่านไปชั้นๆ ของผลิตภัณฑ์จะหนาขึ้น มีผลต่อการแพร่ของสาร A ซึ่งจะช้าลง ดังนี้ก่อนอินทิเกรตสมการ (2.15) จะเปลี่ยนค่า N_A ให้อยู่ในเทอมของ r_c ซึ่งความสัมพันธ์นี้ได้มาจากการ (2.6)

$$-\rho_B \int_{r_c=R}^{r_c} [(1/r_c - 1/R)] r_c^2 dr_c = bDeC_{A,B} \int_0^t dt$$

เมื่ออินทิเกรตจะได้

$$t = (\rho_B R^2 / 6bDeC_{A,B}) [1 - 3(r_c/R)^2 + 2(r_c/R)^3] \quad (2.16)$$

จากการ (2.16) เมื่อ $r_c = 0$ จะได้เวลาที่เกิดปฏิกิริยาสมบูรณ์ มีค่า

$$\tau = \rho_B R^2 / 6bDeC_{A,B} \quad (2.17)$$

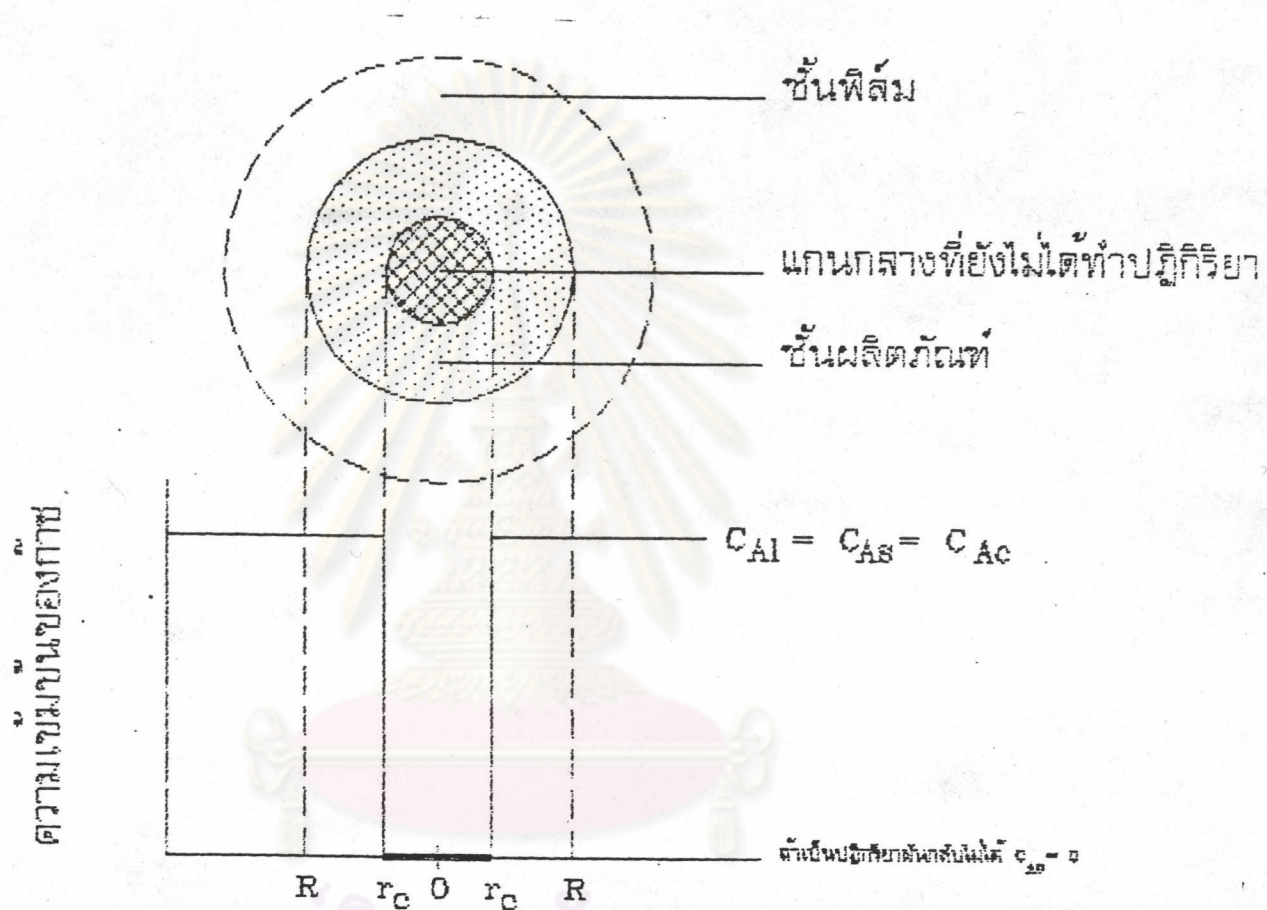
ดังนั้น เมื่อนำสมการ (2.16) หารด้วยสมการ (2.17) จะได้สมการในรูปของรัศมีแกนกลาง และอัตราล่วงเวลา rate ระหว่างเวลา t กับเวลาที่เกิดปฏิกิริยาสมบูรณ์ คือ

$$t/\tau = 1 - 3(r_c/R)^2 + 2(r_c/R)^3 \quad (2.18)$$

หรือเขียนสมการ (2.18) ในเทอมของความสัมพันธ์ระหว่างเวลา t กับสัดส่วนการเปลี่ยน (fractional conversion) ได้เป็น

$$t/\tau = 1 - 3(1-X_B)^{2/3} + 2(1-X_B) \quad (2.19)$$

ค. การควบคุมด้วยปฏิกิริยาเคมี (Chemical Reaction Controls)
เมื่อพิจารณาถึงความแตกต่างของความเข้มข้นภายในอนุภาคราหงว่าง
การเกิดปฏิกิริยาเคมีซึ่งเป็นตัวควบคุมอัตราเร็วของปฏิกิริยา



รูปที่ 2.12 โปรไฟล์ความเข้มข้น A เมื่อการเกิดปฏิกิริยาเคมีควบคุม
อัตราเร็วปฏิกิริยา (Levenspiel, 1972)

เมื่อปริมาณของสารที่เข้ากำปฏิกิริยา เป็นสัดส่วนโดยตรงกับพื้นที่ผิว
ของอนุภาค ดังนั้นอัตราเรื่องปฏิกิริยาตามรูปที่ 2.12 คือ

$$(1/4)\pi r_c^2 (\frac{dN_B}{dt}) = (-b/4)\pi r_c^2 (\frac{dN_A}{dt}) = b k_s C_{A\infty} \quad (2.20)$$

แทนค่า N_B ให้อยู่ในเทอมของรัศมี r_c อาศัยสมการ (2.6) ได้

$$(-1/4)\pi r_c^2 \rho_B 4\pi r_c^2 (\frac{dr_c}{dt}) = -\rho_B (\frac{dr_c}{dt}) = b k_s C_{A\infty} \quad (2.21)$$

อินทิเกรตสมการ (2.21)

$$\begin{aligned} -\rho_B \int_R^{r_c} dr_c &= b k_s C_{A\infty} \int_0^t dt \\ t &= (\rho_B / b k_s C_{A\infty})(R - r_c) \end{aligned} \quad (2.22)$$

เมื่อแทนค่า $r_c = 0$ ในสมการ (2.22) จะได้เวลาที่เกิดปฏิกิริยาสมบูรณ์คือ

$$T = \rho_B R / (b k_s C_{A\infty}) \quad (2.23)$$

นำสมการ (2.22) หารด้วยสมการ (2.23) จะได้สมการในรูปของรัศมีแกนกลางกับอัตรา
ส่วนเวลาระหว่างเวลาใด ๆ กับเวลาที่เกิดปฏิกิริยาสมบูรณ์ คือ

$$t/T = 1 - (r_c/R) \quad (2.24)$$

หรือสมการ (2.24) เขียนในเทอมของความสัมพันธ์ระหว่างเวลา กับสัดส่วนการเปลี่ยน
(fractional Conversion) ได้เป็น

$$\frac{t}{\tau} = 1 - (1 - X_B)^{1/3} \quad (2.25)$$

ถ้าปฏิกิริยาที่เกิดขึ้นเป็นอนุกรม (series) และความเข้มข้นเป็นสมการเชิงเส้น ดังนี้

$$t_{\text{total}} = t_{\text{film alone}} + t_{\text{ash alone}} + t_{\text{reaction alone}} \quad (2.26)$$

$$\tau_{\text{total}} = \tau_{\text{film alone}} + \tau_{\text{ash alone}} + \tau_{\text{reaction alone}} \quad (2.27)$$

$$(-1/S_{\infty})(dN_B/dt) = bC_A/[1/k_s + R(R - r_c)/(r_c^2 De) + R/(r_c^2 k_s)] \quad (2.28)$$

$$\text{หรือ } (-dr_c/dt) = (bC_A/\rho_B)/[r_c^2/R^2 k_s + \{(R - r_c)r_c\}/RDe + 1/k_s] \quad (2.29)$$

film
ash
reaction

2.5.2 ไม่เดลปฏิกิริยาต่อเนื่อง (Continuous reaction model)

สมมติฐานที่ใช้ในการอธิบายกลไกของปฏิกิริยาเป็นไปตาม continuous reaction model คือ การเกิดปฏิกิริยาดำเนินไปอย่างต่อเนื่องในเครื่องปฏิกรณ์แบบไม่ต่อเนื่อง (batch reactor) โดยไฟร์ท์กระจายอยู่ทั่วไปในถ่านหินและสมมติว่าระบบนี้มีสภาพเป็นสารละลาย

อัตราการหายไปของสาร A = อัตราการเปลี่ยนแปลงของโมล A ต่อน่วยปริมาตร

$$-r_A = (-1/V)(dN_A/dt) \quad (2.30)$$

$$\text{เมื่อปริมาตรคงที่ จะได้ } -r_A = -(dC_A/dt) \quad (2.31)$$

สมการอัตราเร็วปฏิกิริยาเชียนในเทอมความเข้มข้นและอุณหภูมิได้ ดังนี้

$$-r_A = kC_A^n = k_0 e^{-E/RT} C_A^n \quad (2.32)$$

สมการ (2.32) เขียนในเทอมลอการิทึมได้ว่า

$$\ln (-r_A) = \ln (k) + n \ln (C_A) \quad (2.33)$$

จากสมการ (2.33) ถ้าเขียนกราฟระหว่าง $\ln (-r_A)$ กับ $\ln (C_A)$ จะได้กราฟเส้นตรง มีความชันเท่ากับ n และกราฟตัดแกน y ที่ $\ln (k)$ เมื่อปริมาตรคงที่ จะได้ความล้มพังช์ของ C_A และ X_A คือ

$$X_A = 1 - (C_A / C_{A_0}) \quad (2.34)$$

$$\text{และ} \quad dC_A = - C_{A_0} dX_A \quad (2.35)$$

จากสมการ (2.31) และสมการ (2.35) นำมาอินทิเกรต

$$\int_0^t dt = - \int_{C_{A_0}}^{C_A} \frac{dC_A}{(-r_A)} = C_{A_0} \int_0^{X_A} \frac{dX_A}{(-r_A)}$$

ดังนั้นเวลาของการเกิดปฏิกิริยา คือ

$$t = - \int_{C_{A_0}}^{C_A} \frac{dC_A}{(-r_A)} = C_{A_0} \int_0^{X_A} \frac{dX_A}{(-r_A)} \quad (2.36)$$

ถ้าอันดับอัตราเร็วของปฏิกิริยา เป็นปฏิกิริยาอันดับ 2 (Second order reaction) จะได้ความล้มพังช์ระหว่างอัตราเร็วปฏิกิริยา ($-r_p$) กับความเข้มข้นไฟร์ต์ (C_p) ตามสมการที่ (2.32) คือ (Joshi, 1980)

$$-r_p = k_z C_p^2 \quad (2.37)$$

$$k_z dt = (-dC_p / C_p^2) \quad (2.38)$$

$$k_z t = \left(\frac{1}{C_p} \right) - \left(\frac{1}{C_{p_0}} \right) \quad (2.39)$$

$$k_z t + \left(\frac{1}{C_{p_0}} \right) = \left(\frac{1}{C_p} \right) \quad (2.40)$$

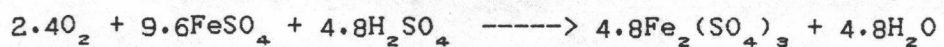
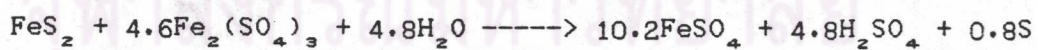
เมื่อ $X = 1 - \left(\frac{C_p}{C_{p_0}} \right)$

$$k_z t C_{p_0} = \{1/(1-X)\} - 1 \quad (2.41)$$

เมื่อผลของการฟระห่วง $1/C_p$ กับ t ตามสมการที่ (2.40) จะได้กราฟเส้นตรง ความชันของเส้นตรงที่ได้มีค่าเท่ากับ $k_z C_{p_0}$

2.6 ผลงานวิจัยในต่างประเทศ

- R.A. Meyers (1973, 1975) ศึกษากระบวนการขัดกำมะถัน Meyers process โดยใช้ถ่านหินขนาด 10-100 เมช และใช้สารละลายเฟอริกชัลเฟต อุณหภูมิ 90-130 °ซ สามารถลดปริมาณกำมะถันรวมได้ถึงร้อยละ 80 และลดปริมาณกำมะถันไฟไฮต์ได้ถึงร้อยละ 90-95 ส่วนสารละลายเฟอริกชัลเฟตจะ regenerate ใหม่ด้วยอากาศหรือออกซิเจน ดังสมการ



นอกจากนี้ Meyers ใช้สารละลายกรดฟูรัสในรูปของก้าชชัลเฟอร์ไดออกไซด์กับ

สารละลายกรดเกลือให้ทำปฏิกิริยากับกำมะถันที่สภาวะในการทดลองคือ อุณหภูมิ 110-140 °ซ

เวลา 1/2 -1 ชม. หรือสูงกว่า และขนาดถ่านหินต่ำกว่า 74 ไมโครน - 1.27 เมตร
ความดันปกติ ผลคือลดกำมะถันรวมได้ร้อยละ 2-26 และกำมะถันไฟไฮต์ลดได้ร้อยละ 4-52

- Dessau (1977) ศึกษาการจำจัดกำมะถันในถ่านหินโดยใช้วิธีการของ Meyers แต่แทนที่จะใช้สารละลายนEOFริกชัลเฟตหรือEOFริกคลอไฮต์ในการทำปฏิกิริยาดัง Meyers Dessau ใช้สารละลายน้ำที่มีคุณสมบัติเป็นตัวออกซิไดซ์ เช่น พากโลหะแมกนีเซียม วนาเดียม หรือซีเรียม แทน ซึ่งจะแสดงสมบัติเมื่อละลายในน้ำหรือสารละลายน้ำกรด โดยทั่วไปโลหะเหล่านี้จะประกอบอยู่ในรูปของสารประกอบ เช่น ในรูปของสารละลายน้ำที่มีส่วนประกอบของโลหะ เช่น โมเนียม เมตาวนาเดต ซีริกแอมโมเนียมในเตรต งานวิจัยนี้ใช้ถ่านหินขนาด 147 ไมโครเมตรถึง 1.651 มิลลิเมตร ผสมกับน้ำทำให้เป็นสารละลายน้ำและปรับสภาพสารละลายน้ำให้เป็นกรดมี pH อยู่ในช่วง 1-5 โดยเติมกรดชัลฟูริกหรือกรดเกลือลงไปแล้วจึงใส่โลหะที่เป็นตัวออกซิไดซ์ลงไปทำปฏิกิริยาที่อุณหภูมิ 100 °C เวลา 4-16 ชม. ภายหลังจากปฏิกิริยาเกิดสมบูรณ์แล้ว พบว่า สารละลายน้ำที่ได้ประกอบด้วยสารละลายน้ำของเกลือEOFริกชัลเฟต ($Fe_2(SO_4)_3$) เกลือEOFรัสชัลเฟต ($FeSO_4$) ที่เกิดจากกำมะถันไฟไฮต์และกำมะถันไฟไฮต์ในถ่านหินถูกจำจัดออกหมด

- Van Nise et.al.(1977) ศึกษาระบวนการจำจัดกำมะถันโดยอาศัยกระบวนการ Meyers มาปรับปรุงให้มีอัตราการผลิต 8 เมตริกตันต่อวัน ซึ่งในกระบวนการจำจัดจะแบ่งออกเป็น 2 ขั้นตอน คือ ขั้นตอนแรกใช้วิธีทางกายภาพ อาศัยสมบัติความแตกต่างของความถ่วงจำเพาะระหว่างกำมะถันไฟไฮต์กับถ่านหิน ส่วนขั้นตอนที่สอง เป็นกระบวนการของ Meyers นำถ่านหินที่แยกເเอกสารกำมะถันไฟไฮต์ออกไปบางส่วนในขั้นแรกมาทำปฏิกิริยากับสารละลายนEOFริกชัลเฟตและก้าชออกซิเจนในเครื่องปฏิกรณ์ตัวเดียวกัน ซึ่งทั้งหมดได้ศึกษาหาอัตราการจำจัดกำมะถันไฟไฮต์และอัตราของ regeneration สารละลายน้ำในรูปของสมการข้างล่างเพื่อเป็นข้อมูลในการออกแบบเครื่องปฏิกรณ์ที่มีกำลังการผลิตสูง

$$\text{อัตราการจำจัดกำมะถันไฟไฮต์} \quad r_1 = - \frac{dW_p}{dt} = k_1 W_p^2 y^2$$

$$\text{เมื่อ } k_1 = A_1 \exp(-E_1/RT)$$

w_y = ร้อยละ โดยน้ำหนักของกำมะถันไฟไวร์ต์ในถ่านหิน
 y = อัตราส่วนของความเข้มข้น Fe^{2+} ต่อความเข้มข้นของ
 เหล็กทั้งหมดของสารละลายนี่ในเครื่องปฏิกรณ์
 A_r และ E_r = ค่าคงที่
 R = ค่าคงที่ของก้าซ
 T = อุณหภูมิ

อัตรา regeneration ของสารละลายนีโอริกชัลเฟต

$$r_r = - \frac{dFe^{2+}}{dt} = k_r P_{O_2} (Fe^{2+})^2$$

เมื่อ $k_r = A_r \exp(-E_r/RT)$
 P_{O_2} = ความดันของออกซิเจน
 Fe^{2+} = ความเข้มข้นของ Fe^{2+} ในสารละลายนี้
 A_r และ E_r = ค่าคงที่
 R = ค่าคงที่ของก้าซ
 T = อุณหภูมิ

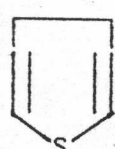
- King และ Perlmutter (1977) ศึกษาหาสภาวะที่เหมาะสมในการเกิดปฏิกิริยาออกซิเดชันโดยใช้สารละลายนีโอริกคลอไรต์ ($FeCl_3$) ทำปฏิกิริยากับแร่ไฟไวร์ต์ในเครื่องปฏิกรณ์แบบกว้าง จากการทดลองพบว่า อัตราการเกิดปฏิกิริยาออกซิเดชันสูงขึ้นเมื่อเพิ่มอุณหภูมิ ($40-100^\circ\text{C}$) เมื่อเพิ่มความเข้มข้นของสารละลายนี้ ($0.1-1.0\text{ M}$) และ เมื่อเพิ่มปริมาณของแร่ไฟไวร์ต์ที่ใช้ ($2-20\text{ กรัม/ลิตร}$) แต่อัตราการเกิดปฏิกิริยาจะลดลง เมื่อเพิ่มน้ำอุ่น ($43-104^\circ\text{C}$ ไมโครเมตร) โดยที่อัตราการกวนไม่มีผลในการเพิ่มหรือลดลงของอัตราการเกิดปฏิกิริยา นอกจากนี้ยังได้ศึกษาถึงปฏิกิริยาของแร่ไฟไวร์ต์ที่มีในถ่านหินทำกับสารละลายนีโอริกคลอไรต์ และพบว่าอัตราการเกิดปฏิกิริยาจะเกิดเร็ว เมื่อถ่านหินที่ใช้ในการทำปฏิกิริยามีขนาดเล็กกว่า 43 ไมโครเมตร

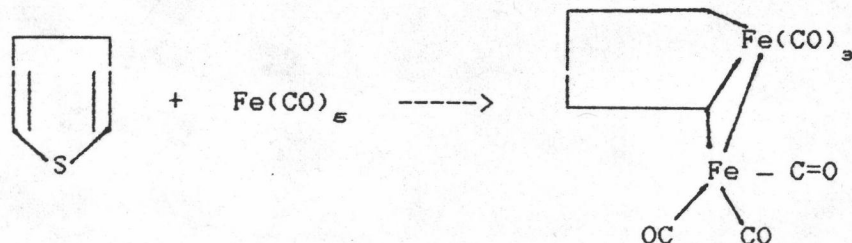
- D. Slagel et.al.(1980) ศึกษาอัตราเร็วของปฏิกิริยาการซัดกำมะถันด้วย

ก้าซออกซิเจน โดยใช้ถ่านหินขนาดต่ำกว่า 100 เมช อุณหภูมิ 150-200 °ช และความดันออกซิเจน 0.69-3.44 เมกะบาร์ascal(MPa) ทำเป็น slurry ใน stirred autoclave ขนาด 2 ลิตร ความเข้มข้นถ่านหินคือ 0.025-0.22 กิโลกรัม/ลิตร ระยะเวลาที่ใช้คือ 40 นาที และอัตราการวน 16 รอบต่อนาที ผลการวิจัยพบว่าปฏิกิริยาของกำมะถันไฟไฮต์ให้ผลสอดคล้องกับอัตราเร็วปฏิกิริยาอันดับสอง ส่วนปฏิกิริยาของกำมะถันอินทรีย์เป็นปฏิกิริยาอันดับคุนย์ และการศึกษาขั้นตอนที่เป็นตัวควบคุมโดยอาศัย Shrinking Core Model พบว่าปฏิกิริยาการซัดกำมะถันไฟไฮต์สอดคล้องกับรูปแบบการควบคุมด้วยการแพร่ผ่านชั้นผลิตภัณฑ์

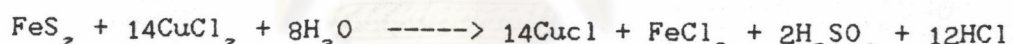
- King และ Lewis (1980) ได้ศึกษาการใช้ก้าซออกซิเจนและสารละลายเฟอริกชัลเฟต์ทำปฏิกิริยาออกซิเดชันกับแร่ไฟไฮต์พร้อมกัน โดยทำปฏิกิริยากันในเครื่องปฏิกรณ์แบบวงขนาด 2 ลิตรที่ออกแบบไม่ให้มีการรั่วไหลของกากที่ใช้ทำปฏิกิริยา จากการวิจัยพบว่าอัตราการเกิดปฏิกิริยาจะเร็วขึ้นเมื่อเพิ่มความดันของออกซิเจน เมื่อเพิ่มอุณหภูมิ(80-100 °ช) และเมื่อเพิ่มความเข้มข้นของสารละลายเฟอริกชัลเฟต์(0-0.5 M.) โดยอัตราการวนตั้งแต่ 680 รอบต่อนาทีขึ้นไปไม่มีผลในการเพิ่มหรือลดอัตราการเกิดปฏิกิริยา สรุปว่าสภาวะที่ดีที่สุดในการเกิดปฏิกิริยา คือ ที่ความดันออกซิเจน 8.50 กิโลกรัมต่ำตารางเซนติเมตร อุณหภูมิ 100 °ช ความเข้มข้นสารละลาย 0.5 M. ปริมาณแร่ไฟไฮต์ที่ใช้ 20 กรัมต่อลิตร และเวลา 4 ชม.

- C.R.Porter et.al.(1982) ศึกษาการซัดกำมะถันอินทรีย์ออกจากถ่านหินโดยให้ถ่านหินทำปฏิกิริยากับสารประกอบพาก metal carbonyl $[Fe(CO)_5]$ และน้ำภายใต้สภาวะที่เป็นด่างขนาดกลาง ($pH = 7.5-10.7$) ช่วงอุณหภูมิ 55-120 °ช ระยะเวลาที่ใช้คือ 2-15 ชม. ถ่านหินที่ใช้ขนาด 200 เมช ในปริมาณถ่านหิน 100 กรัมต่อลิตร เพนทาคาร์บอนิล $[Fe(CO)_5]$ 61.1 กรัม จากการทดลองพบว่าสามารถซัดกำมะถันอินทรีย์ได้ร้อยละ 87 และปฏิกิริยานในการซัดกำมะถันอินทรีย์ในถ่านหิน (สารประกอบพาก Thiophene) เป็นดังสมการ





- Ludmila Lompa - Krzymien (1982) ศึกษาการจัดกำมะถันในถ่านหินโดยใช้สารละลายน้ำออกซิไดร์ฟารอลายที่ใช้คือ คิวปริกคลอไรด์ (Cupric chloride) และ คอปเปอร์ชัลเฟต (Copper sulfate) ความเข้มข้น 5-10 % โดยน้ำหนัก ถ่านหินที่ใช้เป็นถ่านหิน Prince จาก Nova Scotia ที่มีกำมะถันสูงประมาณ 5 % โดยน้ำหนัก ขนาดถ่านหิน 500 ไมโครเมตร ปริมาณถ่านหิน 2 กรัม/สารละลายน้ำ 10 มิลลิลิตร อุณหภูมิ 150-200 °C ระยะเวลา 1-2 ชม. พบว่า สามารถจัดกำมะถันได้หมด และปฏิกิริยาการออกซิไดร์ฟารอลายกำมะถันไฟไวร์ต์ด้วย cupric ions (Cu^{2+}) จากสารละลายน้ำ $CuCl_2$ จะได้กรดซัลฟูริก (H_2SO_4) ดังปฏิกิริยา



- T.Oshinowo และ O.Ofi (1987) ศึกษาการจัดกำมะถันไฟไวร์ต์โดยใช้สารละลายน้ำฟอริกคลอไรด์ ($FeCl_3$) ความเข้มข้น 0.2 , 0.6 และ 1.0 M. ปริมาณถ่านหิน 150 , 170 และ 200 กรัมต่อลิตร ขนาดถ่านหิน -0.841 ถึง 0.595 , -0.595 ถึง 0.420 , -0.420 ถึง +0.210 และ -0.210 มม. อุณหภูมิ 60,75,90 และ 102 °C ระยะเวลา 0-12 ชม. ในเครื่องปฏิกรณ์แบบลังกวน อัตราการกวน 700 รอบต่อนาที พบว่า การจัดกำมะถันไฟไวร์ต์เพิ่มขึ้นเมื่ออุณหภูมิและความเข้มข้น $FeCl_3$ เพิ่มขึ้น แต่จะลดเมื่อขนาดถ่านหินเพิ่ม ขนาดถ่านหินที่เหมาะสมสมคือ 0.105 มม. และที่อุณหภูมิ 102 °C ความเข้มข้น 1.0 M. ระยะเวลา 12 ชม. สามารถจัดกำมะถันไฟไวร์ต์ได้ร้อยละ 93

การศึกษาขั้นตอนที่ควบคุมปฏิกิริยาโดยอาศัยแบบจำลอง unreacted shrinking core พบว่า ขั้นตอนที่ควบคุมปฏิกิริยาสอดคล้องกับขั้นตอนควบคุมด้วยปฏิกิริยาเคมี

การศึกษาเกี่ยวกับอัตราเร็วปฏิกิริยา พบว่า สอดคล้องกับ two parameter pseudohomogeneous คือ

$$r = k(C_B/C_{B_0})^{2/3} C_A^{1/2}$$

เมื่อ C_B เป็นความเข้มข้นของกำมะถันไฟร์ต์ในถ่านหิน
 C_A เป็นความเข้มข้นของสารละลายนีโตริกคลอไรต์
 และพบว่า ค่าคงที่อัตราเร็วปฏิกิริยาเท่ากับ

$$k = 117.48 \exp(-20.233/RT)$$

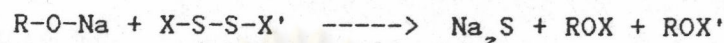
สำหรับอุณหภูมิ $55 < T < 105$ ($^{\circ}\text{ช}$)

- E.Alper et.al.(1989) ศึกษาการจัดกำมะถันในถ่านหินลิกไนต์ Turkish ใน slurry ที่เป็นกรดและเบล โดยออกซิเจนที่ละลายเป็นตัวทำปฏิกิริยากับกำมะถันที่อยู่ในถ่านหิน สารละลายน้ำที่ใช้คือ สารละลายน้ำซัลฟูริก ($\text{pH } 1.3-1.4$) และสารละลายน้ำเบลที่ใช้คือ สารละลายน้ำโซเดียมคาร์บอเนต 0.2 M . ($\text{pH } 11.5$) อุณหภูมิ $125, 150$ และ 175 $^{\circ}\text{ช}$ ความดันออกซิเจน 10 และ 15 atm ขนาดถ่านหิน $65-85$ เมซ การทดลองทำใน autoclave ขนาด 250 cm^3 บรรจุ PTFE liner ปริมาณถ่านหิน 8 กรัมต่อสารละลายน้ำ 100 ลูกบาศก์เซนติเมตร ผลการวิจัยพบว่า เมื่อใช้สารละลายน้ำกรด การจัดกำมะถันไฟร์ต์ลดลง แต่การจัดกำมะถันอินทรีย์เพิ่มขึ้นเมื่ออุณหภูมิเพิ่มขึ้น และความดันออกซิเจนเพิ่มขึ้นทำให้การจัดกำมะถันรวมเพิ่มขึ้น เมื่อใช้สารละลายน้ำเบล การจัดกำมะถันรวมกำมะถันชัลเฟตและกำมะถันอินทรีย์เพิ่มขึ้น เมื่ออุณหภูมิเพิ่มขึ้นและความดันออกซิเจนเพิ่มขึ้น

- B.Mazumder et.al.(1989) ศึกษาการจัดกำมะถันในถ่านหินโดยใช้สารประกอบโลหะอินทรีย์(organicmetallic compounds)ที่เป็น aliphatic และ aromatic เช่น โซเดียมเมทอกไซด์ (sodium methoxide) โซเดียมเบนซอกไซด์ (sodium benzoxide) ผลการทดลองพบว่า ที่ความดันปกติและอุณหภูมิของการทำการทดลองประมาณจุดเดือดของอัลกอฮอลล์ที่ใช้ กำมะถันไฟร์ต์และกำมะถันชัลเฟตถูกจัดได้ถึงประมาณร้อยละ 100

และกำมะถันรวมถูกหั่นได้ประมาณร้อยละ 50 การหั่นกำมะถันเพิ่มขึ้นเมื่อขนาดถ่านหินลดลง (-2.80 มม. ถึง -0.075 มม.) นอกจากนี้หัวทำลายสามารถ regenerate โดยการกลับได้มากกว่าร้อยละ 80

ปฏิกิริยาการหั่นกำมะถันโดยใช้สารประกอบโลหะอินทรีย์เป็นดังนี้



โดย $R = methyl, n-butyl, benzyl$

- K.Kusakabe et.al.(1989)ศึกษาการหั่นกำมะถันและสารอินทรีย์ในถ่านหินก่อนการเผาให้มีโดยใช้อัลคาไลน์ลอมเหลว การทดลองได้แบ่งออกเป็น 2 วิธี คือ วิธี Molten alkali bath และวิธี Alkali impregnation หรือ Alkali solution วิธีแรกนี้ใช้ถ่านหินขนาดต่ำกว่า 200 ไมโครเมตร สารเคมีที่ใช้คือ โซเดียมไฮดรอกไซด์ (ความชื้น 2 % โดย น.น.) และโปแตลเซียมไฮดรอกไซด์ (ความชื้น 15 % โดย น.น.) สัดส่วนของโปแตลเซียมไฮดรอกไซด์ใน molten bath คือ 46 % โดย น.น. อุณหภูมิ 623 K ผลการทดลองพบว่า กำมะถันรวมและเก้าถูกหั่นได้มากกว่าร้อยละ 90 โดยน้ำหนัก เมื่อใช้เวลาในการทำปฏิกิริยา 1 ชม. ส่วนวิธีที่สองนี้ อัลคาไลมีสัดส่วนโปแตลเซียมไฮดรอกไซด์ร้อยละ 52 โดยน้ำหนัก ถ่านหินจะถูกเคลือบด้วยอัลคาไล เครื่องปฏิกรณ์ที่ใช้เป็นคอลัมน์คือตัวปอร์เชลайн บรรจุลูกปัดแก้ว (glass beads) เพิ่มครึ่งล่างของคอลัมน์และวางถ่านหินที่เคลือบแล้วบนผิวของเบด ผ่านก๊าซในไตรเจนในทิศทางส่วนขึ้น อุณหภูมิ 648 K ผลพบว่า สามารถหั่นกำมะถันไฟฟ้าได้ร้อยละ 95 หั่นกำมะถันชั้ลเฟต์ได้ร้อยละ 99 หั่นกำมะถันอินทรีย์ได้ร้อยละ 82 หั่นกำมะถันรวมได้ร้อยละ 87 และหั่นเก้าได้ร้อยละ 94

- Y.Onganer et.al.(1989) ศึกษาจลนแพลคอลัฟาร์ก์การหั่นกำมะถันด้วยกระบวนการ Meyers โดยใช้สารละลายเฟอริกคลอไรด์เตรียมโดยมีสารละลายกรดไฮโดรคลอริก

(เป็นตัวกำลังลای) ความเข้มข้น 1.0 , 0.8 และ 0.5 กิโลโมล/ลูกบาศก์เมตร ความเข้มข้นของสารละลายนครด้วยดิจิตอลริกเป็น 0.5 , 0.8 และ 1.1 กิโลโมล/ลูกบาศก์เมตร อัตราส่วนของเฟอริกอิโอนต่อเหล็กทึ้งหมดเป็น 1.0 : 1.0 , 0.8 : 1.0 , 0.6 : 1.0 อุณหภูมิ 50 , 70 และ 94 °ซี อัตราการกวน 500 รอบต่อนาที อัตราส่วนของแข็งต่อของเหลวคือ 1:6 ถ่านหินที่ใช้มีขนาด 850-425 , 250-180 และ 180-150 ไมโครเมตร ระยะเวลา 4 ชั่วโมง.

ผลการวิจัยพบว่าการซั่นกำมะถันไฟโรต์ในถ่านหินเพิ่มขึ้นเมื่อขนาดอนุภาคน้ำถ่านหินลดลง ความเข้มข้นสารละลายน้ำดิจิตอลลดลง อัตราส่วนเฟอริกอิโอนต่อเหล็กทึ้งหมดเพิ่มขึ้นและอุณหภูมิเพิ่มขึ้น

รูปแบบจำลองของปฏิกิริยาพบว่า สมการอัตราการเกิดปฏิกิริยาคือ

$$\frac{dX}{dt} = k_L (1-X)^2$$

โดย k_L คือ ค่าคงที่ของปฏิกิริยา ขึ้นกับตัวแปรของปฏิกิริยา X คือ สัดส่วนของกำมะถันไฟโรต์ที่เปลี่ยนเป็นชัลเฟต และสุดท้ายได้สมการที่แสดงถึงอัตราการเปลี่ยนไปของกำมะถันไฟโรต์ไปเป็นชัลเฟต คือ

$$\frac{dX}{dt} = 268[H]^{-3/4}[Fe^{3+}]^{1/2}[Fe^{3+}/Fe_T]^{5/3}r^{-1/2}(1-X)^2 \exp(-37/RT)$$

ศูนย์วิทยทรัพยากร
จุฬาลงกรณ์มหาวิทยาลัย

2.6 ผลงานวิจัยในประเทศไทย

- งานพ อติวนิชพงษ์ และ พัชรินทร์ วีระนิตินนท์ (2525) ศึกษาการเกิดปฏิกิริยาออกซิเดเชันของกำมะถันไฟไฮต์ในถ่านหินเหมืองบางปูด้า โดยศึกษาปฏิกิริยากับสารละลายนEOFริกชัลเฟตในเครื่องปฏิกิริยแบบกวาน พบว่า ในการเกิดปฏิกิริยา ขนาดของถ่านหินในช่วง 90-250 ไมโครเมตร จะเกิดปฏิกิริยาได้ดีที่สุด คือสามารถกำจัดกำมะถันได้มากที่สุด เมื่อเทียบกับขนาดอื่นๆ (< 90 , 250-500 , 500-1000 ไมโครเมตร) นอกจากนี้ เวลาของ การทำปฏิกิริยาตั้งแต่ 2-6 ชม. จะให้ผลในการซักกำมะถันใกล้เคียงกัน สรุปว่าสภาวะที่เหมาะสมในการเกิดปฏิกิริยา คือ ถ่านหินขนาด 90-250 ไมโครเมตร เวลา 2 ชม. อุณหภูมิ 100°C สามารถลดปริมาณกำมะถันได้ร้อยละ 37.54

- วิทยา ปันสุวรรณ (2527) ศึกษาการซักกำมะถันจากถ่านหินเหมืองแม่เนะด้วยสารละลายนEOFริกชัลเฟตความเข้มข้น 1 มอลาร์ โดยใช้ถ่านหินขนาด 100-250 ไมครอน ปริมาณถ่านหินต่อสารละลายน 50 กรัมต่อสารละลายน 500 มล. ที่อุณหภูมิ 100°C เวลา 4 ชม. ซักกำมะถันรวมได้ร้อยละ 30 ซักถ้วยได้ร้อยละ 17 และสารละลายน regenerat ด้วยก้าชออกซิเจนตลอดเวลา

- สมชัย อัครกิจวิภา และ ประเสริฐ กลิโกจสกุลผล (2526) ศึกษาการซักกำมะถันจากถ่านหินเหมืองกรีบด้วยสารละลายนEOFริกชัลเฟตความเข้มข้น 1 นาโนมิล ใช้ถ่านหินขนาด 100-200 ไมครอน ที่อุณหภูมิ 80°C ความดัน 1 บรรยากาศ เวลา 1 ชม. ลดกำมะถันรวมได้ร้อยละ 48 ลดปริมาณถ้วยได้ร้อยละ 10.3 และปริมาณความร้อนเพิ่มขึ้นร้อยละ 13.5

- กัญชิมา ศิริจิระชัย (2528) ศึกษาการซักกำมะถันจากถ่านหินแหล่งแม่ติบด้วยสารละลายนEOFริกชัลเฟตความเข้มข้น 0.2 M. ใช้ถ่านหินขนาด 150-250 ไมครอน ปริมาณถ่านหิน 100 กรัมต่อสารละลายน 500 มล. ที่อุณหภูมิ $100-120^{\circ}\text{C}$ เวลา 1 ชม. ลดปริมาณกำมะถันรวมได้ร้อยละ 32.75 ลดปริมาณกำมะถันไฟไฮต์ได้ร้อยละ 60.56 ลด

ปริมาณกำมะถันชัลเฟต์ได้ร้อยละ 85.33 เมื่อใช้ออกซิเจนร่วมในปฏิกิริยาด้วย โดยใช้ความดัน 1.44-3.85 กก./ตร.ซม. สามารถลดปริมาณกำมะถันรวมได้ร้อยละ 38.43 ลดปริมาณกำมะถันไฟไฮต์ได้ร้อยละ 66.20 และลดปริมาณกำมะถันชัลเฟต์ได้ร้อยละ 85.33

- เอกชัย อานันทกิจพานิช (2530) ศึกษาการจัดกำมะถันจากถ่านหินเมืองแม่เมะ ด้วยสารละลายน้ำไฮโดรเจนเปอร์ออกไซด์ ความเข้มข้น 10-15 % โดยน้ำหนักต่อปริมาตร ใน 0.1 นอร์มัลกรดชัลฟูริก ใช้ถ่านหินขนาดต่ำกว่า 250 ไมครอน ปริมาณถ่านหิน 30 กรัมต่อสารละลายน้ำ 300 มล. ที่อุณหภูมิ 25-30 °ซ. เวลา 1-1.5 ชม. สามารถลดกำมะถันรวมได้ร้อยละ 97.30 ลดกำมะถันอินทริบ์ได้ร้อยละ 9.50 ลดปริมาณเก้าได้ร้อยละ 68.81 และค่าปริมาณความร้อนเพิ่มขึ้นร้อยละ 11.69 อัตราเร็วปฏิกิริยาการจัดกำมะถันไฟไฮต์เป็นปฏิกิริยาอันดับสอง ขั้นตอนการควบคุมอัตราเร็วปฏิกิริยาเป็นการควบคุมโดยการแพร่ มีค่าคงที่อัตราเร็วปฏิกิริยาของไฟไฮต์ (k_2) และค่าการแพร่ประสิทธิผล (D_2) คือ

$$\text{สำหรับถ่านหินเมืองแม่เมะ} \quad k_2 = 12.02 \times 10^6 \exp(-52.61 \times 10^6 / RT)$$

$$D_2 = 1.78 \times 10^{-5} \exp(-33.22 \times 10^6 / RT)$$

$$\text{สำหรับถ่านหินเมืองป่าคา} \quad k_2 = 3.88 \times 10^6 \exp(-49.71 \times 10^6 / RT)$$

$$D_2 = 1.15 \times 10^{-5} \exp(-33.09 \times 10^6 / RT)$$

- กฤชดา พลาฤทธิ์ (2532) ศึกษาการจัดกำมะถันและเก้าโดยอาศัยปฏิกิริยาออกซิเดชันของไฮโดรเจนเปอร์ออกไซด์ในเครื่องปฏิกรณ์แบบฟลูอิดร์เบดของเหลว ใช้ถ่านหินแม่เมะขนาด 0.5-1.0 และ 1.0-2.0 มม. ความเข้มข้นไฮโดรเจนเปอร์ออกไซด์ในสารละลายน้ำชัลฟูริก 0.05 M. เป็น 4, 5, 7 และ 10 % น้ำหนัก/ปริมาตร อัตราการให้ของสารละลายน้ำไฮโดรเจนเปอร์ออกไซด์ 1.06, 1.25 และ 1.49 ลิตรต่อนาที อุณหภูมิ 10,

20 และ 30 °ช ปริมาณถ่านหิน 150 กรัม/ปริมาณสารละลายน 10 ลิตร ระยะเวลา 90 นาที ผลการทดลอง พบว่า สภาวะที่เหมาะสมคือความเข้มข้นสารละลายนไฮโดรเจน เปอร์ออกไซด์ 7 % โดยน้ำหนัก/ปริมาตรในการชัลฟ์ริก 0.05 M. อัตราการไหลของสารละลายน 1.25 ลิตร/นาที ขนาดถ่านหิน 0.5-1.0 มม. อุณหภูมิ 20 °ช ระยะเวลา 60 นาที โดยลดเวลาได้ร้อยละ 28.08 ลดกำมะถันชัลเฟต์ได้ร้อยละ 92.41 ลดกำมะถันไฟไฮต์ได้ร้อยละ 68.93 และลดกำมะถันรวมได้ร้อยละ 36.12 อัตราเร็วปฏิกิริยา ระหว่างกำมะถันไฟไฮต์กับก้าชออกซิเจนในสารละลายนไฮโดรเจนเปอร์ออกไซด์ เป็นอันดับสอง และขั้นตอนที่ควบคุมอัตราเร็วการเข้าทำปฏิกิริยา สอดคล้องกับการแพร่ของก้าชออกซิเจนผ่านชั้นผลิตภัณฑ์เข้าสู่แกนกลางที่ยังไม่ทำปฏิกิริยา (diffusion through products layer control)

- พัตราภรณ์ เพชรานนท์ (2532) ศึกษาการจัดกำมะถันกำมะถันไฟไฮต์ในถ่านหินโดยใช้สารละลายนองแดง ถ่านหินที่ใช้คือถ่านหินแม่เมฆขนาด 150-250, 250-500 และ 500-600 ไมโครเมตร ความเข้มข้นของสารละลายนโคปเปอร์ชัลเฟต ($CuSO_4$) คือ 10 และ 20 % น้ำหนักต่อปริมาตร อุณหภูมิ 120, 140 และ 150 °ช ระยะเวลา 1 ชม. ปริมาณกำมะถันต่อสารละลายนเป็น 100 กรัม : 500 มล. ผลการทดลองพบว่า การจัดกำมะถันและถ่านเพิ่มขึ้นเมื่อความเข้มข้นสารละลายนโคปเปอร์ชัลเฟตเพิ่มขึ้น อุณหภูมิเพิ่มขึ้นขนาดถ่านหินลดลง โดยสามารถจัดกำมะถันไฟไฮต์ได้ร้อยละ 69.52 ชั้นกำมะถันชัลเฟตได้ร้อยละ 98.57 ชั้นกำมะถันรวมได้ร้อยละ 36.77 และชั้นถ่านเพิ่มได้ร้อยละ 24.90 อันดับปฏิกิริยาเคมีของไฟไฮต์เป็นปฏิกิริยาอันดับสอง และขั้นตอนที่ควบคุมอัตราเร็วปฏิกิริยา สอดคล้องกับการแพร่ผ่านชั้นถ่านเข้าสู่แกนกลางที่ยังไม่ได้ทำปฏิกิริยา (diffusion through ash layer control)

การจัดกำมะถันโดยใช้กระบวนการเมเมเยอร์ส จากผลการวิจัยที่ผ่านมาพบว่า ความเข้มข้นของสารละลายนเฟอริกคลอไฮต์ และสารละลายนเฟอริกชัลเฟตในช่วง 0.5-1.0 M. อุณหภูมิในช่วงประมาณ 80-100 °ช ระยะเวลามากกว่า 2 ชม. การจัดกำมะถันและถ่านจะได้ผลดี (Meyers, 1973, 1975; Dessaau, 1977; King and Perlmutter, 1977; King

and Lewis, 1980; Oshinowo and Ofi, 1987; Onganer et.al., 1989)

ในงานวิจัยนี้อุณหภูมิที่ต่ำที่สุดที่ใช้คือ 50°C เนื่องจากต้องการทราบผลเปรียบเทียบกับผลในการลดกำมะถันที่อุณหภูมิ 60°C ของงานวิจัยของ Oshinowo และ Ofi (1987) และเปรียบเทียบกับผลงานวิจัยที่อุณหภูมิ 50°C ของ Onganer et.al. (1989) ในการเลือกใช้ขนาดถ่านหิน 3 ขนาดนี้ เนื่องจากผลงานวิจัยของ วิทยา ปันสุวรรณ (2527), กัมพិมา គិរិទ្ទឈី (2528), เอกชัย อาณท์กิจพาณิช (2530) และ พัตรภารັດ เพชรานันท์ (2527) ใช้ขนาดถ่านหินต่ำสุด $150-250$ ไมโครเมตร ซึ่งสรุปได้ว่าเป็นขนาดถ่านหินที่เหมาะสมในปฏิกริยาการซัดกำมะถัน และงานวิจัยของ Y.Onganer et.al. (1989) เลือกใช้ขนาดถ่านหินตั้งแต่ $850-150$ ไมโครเมตร สำหรับอัตราการกรานี้เนื่องจากงานวิจัยที่ผ่านมาศึกษาพบว่าอัตราการกรานไม่มีผลต่อการลดปริมาณกำมะถันในถ่านหิน ในงานวิจัยนี้ จึงเลือกใช้อัตราเร็วการกราน 500 รอบต่อนาที ดังนี้การเลือกสภาพการทดลองในการซัดกำมะถันในถ่านหินแม่เมajeด้วยกระบวนการเมเยอร์สและการกำหนดตัวแปรที่สำคัญทั่งๆ จึงอาศัยข้อมูลจากการงานวิจัยที่ผ่านมาเป็นเกณฑ์ ดังนี้

ตัวกำหนด

- ปริมาณถ่านหินต่อสารละลายเป็น 100 กรัม : 500 มล.
- อัตราการกราน 500 รอบต่อนาที

ตัวแปร

- ชนิดของสารละลายคือสารละลายเฟอริกคลอไรด์และสารละลายเฟอริกซัลเฟต
- ความเข้มข้นของสารละลาย คือ 0.5 , 0.8 และ 1.0 M.
- ขนาดอนุภาครถ่านหิน $150-250$, $250-500$ และ $500-750$ ไมโครเมตร
- อุณหภูมิ 50 , 70 , 90 และ 120°C
- ระยะเวลา $0-240$ นาที (4 ชม.)

ตารางที่ 2.5 ผลงานวิจัยในอดีต

ปี ค.ศ.	ผู้ทำการวิจัย	สารเคมีที่ใช้	สภาวะที่ใช้	จนศาสตร์การซัจdamะถัน		
				อันดับปฏิกิริยา	ค่าคงที่ปฏิกิริยา	สมการอัตราเร็ว
1973	R.A. Meyers	สารละลายนครดชัลฟูรัสในรูปของกาซชัลเฟอร์ไดออกไซด์ กับสารละลายนครดเกลือ	ขนาดถ่านหิน < 74 ไมครอน ถึง 1.27 ซม. อุณหภูมิ 110-140 °ซ ความดันปกติ เวลา 1/2-2 ชม. หรือสูงกว่า	-	-	-
1975	R.A. Meyers	สารละลายเฟอริกชัลเฟต	ขนาดถ่านหิน 10-100 เมช อุณหภูมิ 90-130 °ซ สารละลาย regenerate ด้วยอากาศหรือการซักออกซิเจน	-	-	-
1977	R.M. Dessaub	สารละลายน้ำโลหะที่มีคุณสมบัติเป็นตัวออกซิไดซ์ เช่น สารละลายแมงกานีส ไดออกไซด์ ฯลฯ	ขนาดถ่านหิน 147 ไมครอน ถึง 1.651 มม. ถ่านหินผสมน้ำทำเป็นสารละลายแขวนลอย pH 1-5, อุณหภูมิ 100 °ซ เวลา 4-16 ชม.	-	-	-

ปี ค.ศ.	ผู้ทำการวิจัย	สารเคมีที่ใช้	สภาวะที่ใช้	ຈຳນວດສ່ວນການຈັດກຳມະດັນ		
				ອັນດັບປົງກິໂຮຍາ	ຄ່າຄົງທີ່ປົງກິໂຮຍາ	ສ່ວນການອັຕຣາເຮົວ
1977	Van Nise et. al.	สารละลายนຝອຣິກສ້ລັເຟ ແລກກາຊ້ອກຂີເຈັນ	ຄ່ານິນແຍກກຳມະດັນໃນໄວຣີຕີໄປ ນາງ ສ່ວນ ໂດຍວິທີກາຍກາພທຳການ regenerate ສາຮລະລາຍ	ກຳມະດັນໃນໄວຣີ ເປັນອັນດັບສອງ	$K_1 = A_1 \exp(-E_1/RT)$	$r_1 = -dW_p/dt = k_1 W_p^2 y^2$
	King และ Perlmutter	สารละลายนຝອຣິກຄລອໄຣຕີ	ເຄື່ອງປົງກິໂຮຍ້ແບນກວນ ໜາດແຮ່ໄວຣີ 43-104 ໄນ ອຸທຸກົມ 40-100 °ສ ຄວາມເຂັ້ມ້າສາຮລະລາຍ 0.1 ແລະ 1.0 M. ປົງກິໂຮຍ້ໄວຣີ 2-20 ກຣັມ/ລິຕີ	ແຮ່ໄວຣີເປັນ ອັນດັບ 2/3	$k = 1.29 \times 10^{-2}$ ທີ່ຄວາມເຂັ້ມ້າ 1.0 M	$r = k \left[\frac{C_B/C_{B0}}{\left(C_A + K C_C \right)} \right]^{2/3}$
1980	King และ Lewis	สารละลายนຝອຣິກສ້ລັເຟ ແລກກາຊ້ອກຂີເຈັນ	ເຄື່ອງປົງກິໂຮຍ້ແບນກວນໜາດ 2 ລິຕີ ຄວາມເຂັ້ມ້າສາຮລະລາຍ 0-0.5 M. ອຸທຸກົມ 80-100 °ສ ຄວາມດັນອກຂີເຈັນ 0-120 psig ປົງກິໂຮຍ້ໄວຣີ 20 ກຣັມ/ລິຕີ ອັຕຣາການກວນ 600-1180 ຮອບຕ່ອນທີ່ ໜາດແຮ່ໄວຣີ 325 ເມັບ	-	-	-

ปี ค.ศ.	ผู้ทำการวิจัย	สารเคมีที่ใช้	สภาวะที่ใช้	จนศึกษาสรุการขัดกำมะถัน		
				อันดับปฏิกิริยา	ค่าคงที่ปฏิกิริยา	สมการอัตราเร็ว
1980	D. Slagel et. al.	กาซออกซิเจน	ขนาดถ่านหิน < 100 เมช อุณหภูมิ 150-200 °ช ความดันออกซิเจน 0.69-3.44 Mpa ทำเป็นสารละลายน้ำแลอยปูร์มาณ ถ่านหิน 0.025-0.22 กิโลกรัม ต่อลิตรใน stirred autoclave ขนาด 2 ลิตร ระยะเวลา 40 นาที อัตราการกวน 16 รอบต่อนาที	กำมะถันไฟร์ต เป็นอันดับสอง กำมะถันอินทรีย์ เป็นอันดับศูนย์	กำมะถันไฟร์ต $K_{2P} = 1.14 \times 10^4 (-16.5 \times 10^6 / RT)$ กำมะถันอินทรีย์ $K_0 = 2.1 \times 10^4 (-78.9 \times 10^6 / RT)$	-
1981	J.B. Joshi, D. Slagel, Y.T. Shah	กาซออกซิเจน	ขนาดถ่านหิน 75-955 ไมครอน อุณหภูมิ 130-200 °ช ความดันออกซิเจน 0.32-1.36 Mpa ระยะเวลา 0-1.5 ชม. สภาวะปฏิกิริยาเป็นกรด, กลาง และด่าง ในเครื่องปฏิกิริย์แบบกวน	กำมะถันอินทรีย์ เป็นอันดับหนึ่ง ในสภาวะที่เป็น กลางและด่าง	-	-

ปี ค.ศ.	ผู้ทำการวิจัย	สารเคมีที่ใช้	สภาวะที่ใช้	ผลงานศาสตร์การชักจัดกำมะถัน		
				อันดับปฏิกิริยา	ค่าคงที่ปฏิกิริยา	สมการอัตราเร็ว
1982	C.R. Porter et. al.	สารประกอบน้ำมันดิน $[Fe(CO)_5]$ และน้ำ	pH 7.5-10.7 อุณหภูมิ 55-120 °ซ ระยะเวลา 2-15 ชม. ขนาดถ่านหิน 200 เมช	-	-	-
	Ludmila Lompa-Krzymien	สารละลายคิวปริกคลอไรด์ $(CuCl_2)$	ขนาดถ่านหิน 35 เมช ความเข้มข้นสารละลาย 5 และ 10% อุณหภูมิ 200 °ซ ระยะเวลา 1 ชม.	-	-	-
	นาแพ อติวนิชพงษ์ และพัชรินทร์ วีราโนติเนท	สารละลายเฟอริกชัลเฟต	เครื่องปฏิกิริยแบบกวน ถ่านหินเหลืองบางปูดำ ขนาด <90, 250-500 และ 500-1000 ไมครอน อุณหภูมิ 100 °ซ เวลา 2-6 ชม.	-	-	-
1983	Ludmila Lompa-Krzymien	สารละลายคิวปริกคลอไรด์ $(CuCl_2)$ และ สารละลายคอเปปอร์ชัลเฟต $(CuSO_4)$	ขนาดถ่านหิน 500 ไมครอน อุณหภูมิ 150-200 °ซ ระยะเวลา 1-2 ชม. ความเข้มข้นสารละลาย 5-10%	-	-	-

ปี ค.ศ.	ผู้ทำการวิจัย	สารเคมีที่ใช้	สภาวะที่ใช้	จลน์ศาสตร์การซัดกำมะถัน		
				อันดับปฏิกิริยา	ค่าคงที่ปฏิกิริยา	สมการอัตราเร็ว
1983	สมชัย อัครทิวา และประเสริฐ กลิ่นกิจสกุลผล	สารละลายโซเดียมไฮดรอกไซด์	ถ่านหินเหมือนกรอบบีชนาด 100-200 ไมครอน อุณหภูมิ 80 °ช ความดัน 1 บาร์ยากาศ ระยะเวลา 1 ชม. ความเข้มข้นสารละลาย 1 N	-	-	-
1984	วิทยา ปันสุวรรณ	สารละลายเฟอริกซัลเฟต	ถ่านหินแม่เมะนาด 100-250 ไมครอน อุณหภูมิ 100 °ช เครื่องปฏิกรณ์แบบถังกวานไม่ต่อเนื่อง อัตราการกวาน 1000-1400 รอบต่อนาที ระยะเวลา 4 ชม. ปริมาณถ่านหิน 50 กรัมต่อ 500 มิลลิลิตร สารละลาย regenerate ด้วยการออกซิเจนตลอดเวลา	-	-	-

ปี ค.ศ.	ผู้ทำการวิจัย	สารเคมีที่ใช้	สภาวะที่ใช้	ผลงานศาสตร์การชั้นกำมะถัน		
				อันดับปฏิกริยา	ค่าคงที่ปฏิกริยา	สมการอัตราเร็ว
1984	N.P. Vasi-lakos และ C.S.Clinton	สารละลายน้ำไฮโดรเจน เปอร์ออกไซด์ (15% โดยน้ำหนัก) กับกรดซัลฟูริก (0.05 M.)	ขนาดถ่านหิน 200-325 เมช อุณหภูมิ 25 °ช ระยะเวลา 1-4 ชม.	-	-	-
1985	D.J. Boron และ S.R. Taylor	สารละลายน้ำไฮโดรเจนเปอร์ออกไซด์ และสารละลายน้ำไฮโดรเจนเปอร์ออกไซด์ กับกรดฟอสฟอริก, กรดซัลฟูริก และกรดอะซิติก	ขนาดถ่านหิน 48-100 เมช ปริมาณถ่านหิน 20 กรัม/100 มล. อุณหภูมิ 23-100 °ช ระยะเวลา 1-2 ชม.	-	-	-
	กฤตima ศิริจีระชัย	สารละลายน้ำเดียมคาร์บอนเนต	ถ่านหินแหล่งแม่ดีบขนาด 150-250 ไมครอน อุณหภูมิ 100-200 °ช ระยะเวลา 1 ชม. ปริมาณถ่านหิน 100 กรัม/500 มล.	-	-	-

ปี ค.ศ.	ผู้ทำการวิจัย	สารเคมีที่ใช้	สภาวะที่ใช้	จนศึกษาสรุการซัจด์กำมะถัน		
				อันดับปฏิกิริยา	ค่าคงที่ปฏิกิริยา	สมการอัตราเร็ว
1987	T. Oshinowo และ O. Ofi	สารละลายนีโตริกคลอไรต์	ถ่านหินชานาด -0.841 ถึง +0.595 , -0.595 ถึง +0.420, -0.420 ถึง +0.210 และ -0.210 มม. อุณหภูมิ 60, 75, 90 และ 102 °ช ระยะเวลา 1-12 ชม. ความเข้มข้นสารละลายน 0.2-1.0 M. เครื่องปฏิกรณ์แบบกว้าง อัตราการกวน 700 รอบต่อนาที	กำมะถันไฟร์ต เป็นอันดับ 2/3 (two parameter pseudo-homogeneous)	$k = 117.48 e^{(-20.253/RT)}$ $55 < T ^\circ C < 105$	$r = k(C_B/C_{B0})^{2/3} C_A^{1/2}$
	เอกชัย อาณนท์กิจพานิช	สารละลายน้ำไฮโดรเจนเปอร์ออกไซต์ 10-15% โดยน้ำหนัก ใน 0.05 M. กรดชัลฟูริก	ถ่านหินเหมืองแม่เมaje และเหมืองป่าคา ขนาด < 500 ไมครอน อุณหภูมิ 25-30 °ช ระยะเวลา 60-90 นาที ปริมาณถ่านหิน 30 กรัม/300 มล. เครื่องปฏิกรณ์ถังกว้างแบบไม่ต่อเนื่อง อัตราการกวน 1000-1200 รอบต่อนาที	กำมะถันไฟร์ต เป็นอันดับสอง	$k_1 = 12.02 \times 10^6 e^{(-52.6 \times 10^6 / RT)}$ ค่าการแพร่ประลักษณ์ผล De คือ $-5 (-33.2 \times 10^6 / RT)$ $De = 1.78 \times 10^5 e$ ถ่านหินเหมืองป่าคา $k_2 = 3.88 \times 10^6 e^{(-48.7 \times 10^6 / RT)}$ ค่าการแพร่ประลักษณ์ผล De คือ $-5 (-33.1 \times 10^6 / RT)$ $De = 1.15 \times 10^5 e$	-

ปี ค.ศ.	ผู้ทำการวิจัย	สารเคมีที่ใช้	สภาวะที่ใช้	ผลงานศาสตร์การชักจักรกำมะถัน		
				อันดับปฏิกิริยา	ค่าคงที่ปฏิกิริยา	สมการอัตราเร็ว
1988	K. Husein และ C. Ramazan	สารละลายน้ำเดียมไย- ดรอกไซด์	ถ่านหินลิกไนท์ขนาด 74-149 ไมครอน อุณหภูมิ 70 °ซ ระยะเวลา 8 ชม.	-	-	-
1989	E. Alper et. al.	สารละลายน้ำเดียมฟูริก (pH 1.3-1.4) สารละลายน้ำเดียมคาร์บ บอเนต 0.2 M. (pH 11.5)	ขนาดถ่านหิน 65-85 เมช อุณหภูมิ 125, 150 และ 175 °ซ ความดันออกซิเจน 10 และ 15 บาร์ยากร การทดลองทำใน autoclave ขนาด 250 cm ³ บรรจุ PTEF liner ปริมาณถ่านหิน 8 กรัม/100 ลบ.ซม.	-	-	-
		สารประกอบโลหะอินทรีย์ (Organometallic compounds) ที่เป็น aliphatic และ aromatic	ขนาดถ่านหิน -2.80 ถึง -0.075 มิลลิเมตร ความดันปกติ อุณหภูมิประตามจุดเดือดของ สารละลายน้ำที่ใช้ regenerate สารละลายน้ำโดยการ กลั่น	-	-	-

ปี ค.ศ.	ผู้ทำการวิจัย	สารเคมีที่ใช้	สภาวะที่ใช้	ผลงานการซัจด์กำมะถัน		
				อันดับปฏิกิริยา	ค่าคงที่ปฏิกิริยา	สมการอัตราเร็ว
1989	K. Kusakabe et. al.	อัลคาไลอลอมเหลว ไฮเดรียมไฮดรอกไซด์ (ความชื้น 2% โดย นน.) และ โพตัล塞เชียมไฮดรอกไซด์ (ความชื้น 15% โดย นน.)	สัดส่วนโพตัล塞เชียมไฮดรอกไซด์เป็น 46% และ 52% โดย นน. อุณหภูมิ 623 K ทำการทดลอง 2 วิธี คือ วิธี Molten alkali bath และ Alkali impregnation ซึ่ง เครื่องปฏิกรณ์เป็น colloidal ควบคู่ ไปร่วมกับผ่านในไตรเจนในท่อ ส่วนชั้น	-	-	-
	Y. Onganer et. al.	สารละลายนEOFIKคลอร์ไรต์ (มีสารละลายกรดไฮดรอกไซด์) คลอริก เป็นตัวทำละลาย)	ขนาดถ่านหิน 850-425, 250-180, และ 180-150 ในครอน ความเข้มข้นสารละลาย 1.0, 0.8 และ 0.5 กิโลโมล/ลบ.ม. ความเข้มข้นสารละลายไฮดรอกไซด์ คลอริก 0.5, 0.8 และ 1.1 กิโลโมล/ลบ.ม. $[Fe^{3+}]/[Fe_{T}]$ เป็น 1.0:1.0, 0.8:1.0, 0.6:1.0 อุณหภูมิ 50, 70 และ 94 °C	กำมะถันไฟไวต์ เป็นอันดับสอง	$k=268 \exp(-37/RT)$	$\frac{dx}{dt} = k_L (1-x)^2$ $\frac{dx}{dt} = 268 [H] \left[\frac{Fe^{3+}}{Fe_T} \right]^{\frac{1}{2}} r^{-1/2}$ $\left[\frac{Fe^{3+}}{Fe_T} \right]^{\frac{5}{3}} (1-x)^2 e^{-\frac{37}{RT}}$

ปี ค.ศ.	ผู้ทำการวิจัย	สารเคมีที่ใช้	สภาวะที่ใช้	จน์ศาสตร์การยัดกำมะถัน		
				อันดับปฏิกิริยา	ค่าคงที่ปฏิกิริยา	สมการอัตราเร็ว
			อัตราการกวน 500 รอบ/นาที อัตราส่วนของแข็งต่อของเหลวเป็น 1:6 ระยะเวลา 4 ชม.			
1989	กฤษดา พลาฤทธิ์	ไฮโดรเจนเปอร์ออกไซด์ ใน 0.05 M. สารละลายกรดซัลฟูริก	เครื่องปฏิกิริยแบบฟลูอิಡช์เบด ของเหลว ถ่านหินแม่เมะขนาด 0.5-1.0 และ 1.0-2.0 มม. ความเข้มข้นสารละลายเป็น 4, 5, 7 และ 10% นน./ปริมาตร อัตราการไหลสารละลาย 1.06, 1.25 และ 1.49 ลิตร/นาที อุณหภูมิ 10, 20 และ 30 °ซ ปริมาณถ่านหิน 150 กรัม/10 ลิตร ระยะเวลา 90 นาที	กำมะถันไฟไวร์ต เป็นอันดับสอง	$k_2 = 61.08 e^{(-26.56 \times 10^6 / RT)}$ ค่าการแพร่ประลักษณ์ผล, De คือ $De = 1.55 \times 10^{-7} e^{(-16.4 \times 10^6 / RT)}$	-

ปี ค.ศ.	ผู้ทำการวิจัย	สารเคมีที่ใช้	สภาวะที่ใช้	จน์ศาสตร์การจัดกำมะถัน		
				อันดับปฏิกิริยา	ค่าคงที่ปฏิกิริยา	สมการอัตราเร็ว
1989	พัตราภรณ์ เพชรานนท์	สารละลายน้ำยา copolymer ชัลเฟต	ถ่านหินแม่เมะชนิด 150-250, 250-500 และ 500-600 ไมครอน ความชื้นขั้นสารละลายน้ำยา 10% และ 20% โดย นน./ปริมาตร อุณหภูมิ 120, 140 และ 150 °C ระยะเวลา 1 ชม. ปริมาณถ่านหิน 100 กรัม/500 มล.	กำมะถันไนโตรต์ เป็นอันดับสอง	สารละลายน้ำยา copolymer ชัลเฟต 20% $k_2 = 18.71 \times 10^6 e^{-6.5 \times 10^6 / RT}$ ค่าการแพร่ประสีกิธิผล, De คือ $De = 7.49 \times 10^{-2} e^{-75.6 \times 10^6 / RT}$	-

ศูนย์วิทยาทรัพยากร
จุฬาลงกรณ์มหาวิทยาลัย